

Тиристор быстродействующий импульсный ТБИ353-700-30



Средний прямой ток	I_{TAV}	700 А
Повторяющееся импульсное напряжение в закрытом состоянии	U_{DRM}	3000 В
Повторяющееся импульсное обратное напряжение	U_{RRM}	
Время выключения	t_q	40.0, 50.0, 63.0 мкс
$U_{DRM}, U_{RRM}, В$	3000	
Класс по напряжению	30	
$T_j, ^\circ C$	- 60 ÷ 120	

ПРЕДЕЛЬНО ДОПУСТИМЫЕ ЗНАЧЕНИЯ ПАРАМЕТРОВ

Обозначение и наименование параметра		Ед. изм.	Значение	Условия измерения	
Параметры в проводящем состоянии					
I_{TAV}	Средний ток в открытом состоянии	А	700 1125	$T_c=87^\circ C$; двухстороннее охлаждение; $T_c=55^\circ C$; двухстороннее охлаждение; 180 эл. град. синус; 50 Гц	
I_{TRMS}	Действующий ток в открытом состоянии	А	1100	$T_c=87^\circ C$; двухстороннее охлаждение; 180 эл. град. синус; 50 Гц	
I_{TSM}	Ударный ток в открытом состоянии	кА	14.0 16.0	$T_j=T_{j\max}$ $T_j=25^\circ C$	180 эл. град. синус; $t_p=10$ мс; единичный импульс; $U_D=U_R=0$ В; Импульс управления: $I_G=I_{FGM}$; $U_G=20$ В; $t_{GP}=50$ мкс; $di_G/dt=1$ А/мкс
			15.0 17.0	$T_j=T_{j\max}$ $T_j=25^\circ C$	180 эл. град. синус; $t_p=8.3$ мс; единичный импульс; $U_D=U_R=0$ В; Импульс управления: $I_G=I_{FGM}$; $U_G=20$ В; $t_{GP}=50$ мкс; $di_G/dt=1$ А/мкс
I^2t	Защитный фактор	A^2c10^3	980 1280	$T_j=T_{j\max}$ $T_j=25^\circ C$	180 эл. град. синус; $t_p=10$ мс; единичный импульс; $U_D=U_R=0$ В; Импульс управления: $I_G=I_{FGM}$; $U_G=20$ В; $t_{GP}=50$ мкс; $di_G/dt=1$ А/мкс
			930 1190	$T_j=T_{j\max}$ $T_j=25^\circ C$	180 эл. град. синус; $t_p=8.3$ мс; единичный импульс; $U_D=U_R=0$ В; Импульс управления: $I_G=I_{FGM}$; $U_G=20$ В; $t_{GP}=50$ мкс; $di_G/dt=1$ А/мкс

Блокирующие параметры				
U_{DRM}, U_{RRM}	Повторяющееся импульсное обратное напряжение и повторяющееся импульсное напряжение в закрытом состоянии	В	3000	$T_j = T_{j\max}$; 180 эл. град. синус; 50 Гц; управление разомкнуто
U_{DSM}, U_{RSM}	Неповторяющееся импульсное обратное напряжение и неповторяющееся импульсное напряжение в закрытом состоянии	В	3100	$T_j = T_{j\max}$; 180 эл. град. синус; единичный импульс; управление разомкнуто
U_D, U_R	Постоянное обратное и постоянное прямое напряжение	В	$0.6 \cdot U_{DRM}$ $0.6 \cdot U_{RRM}$	$T_j = T_{j\max}$; управление разомкнуто
Параметры управления				
I_{FGM}	Максимальный прямой ток управления	А	8	$T_j = T_{j\max}$
U_{RGM}	Максимальное обратное напряжение управления	В	5	
P_G	Максимальная рассеиваемая мощность по управлению	Вт	8	$T_j = T_{j\max}$ для постоянного тока управления
Параметры переключения				
$(di_T/dt)_{crit}$	Критическая скорость нарастания тока в открытом состоянии ($f=1$ Hz)	А/мкс	2000	$T_j = T_{j\max}$; $U_D = 0.67 \cdot U_{DRM}$; $I_{TM} = 2 I_{TAV}$; Импульс управления: $I_G = 2$ А; $U_G = 20$ В; $t_{GP} = 50$ мкс; $di_G/dt = 2$ А/мкс
Тепловые параметры				
T_{stg}	Температура хранения	°С	- 60...+50	
T_j	Температура р-п перехода	°С	- 60...+120	
Механические параметры				
F	Монтажное усилие	кН	24.0 – 28.0	
a	Ускорение	м/с ²	50	В зажатом состоянии

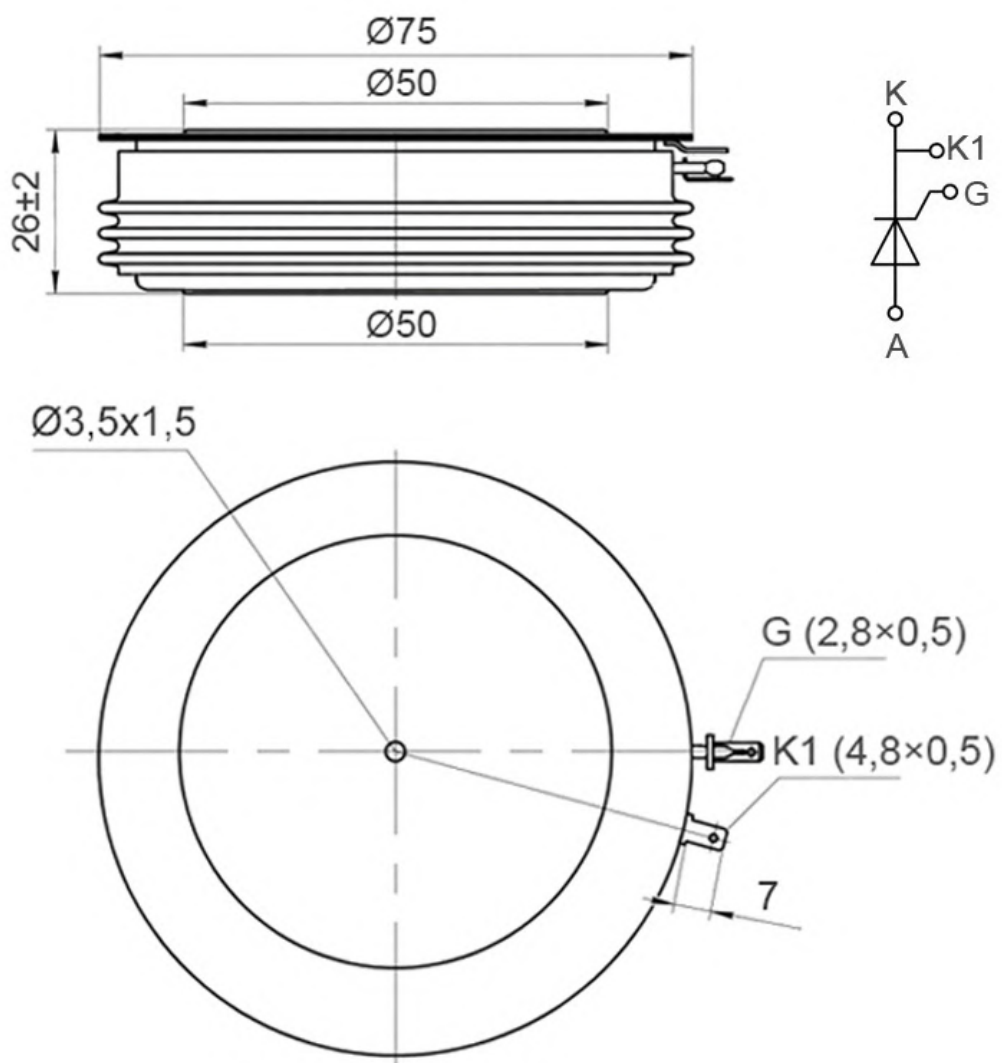
ХАРАКТЕРИСТИКИ

Обозначение и наименование характеристики	Ед. изм.	Значение	Условия измерения
Характеристики в проводящем состоянии			
U_{TM}	Импульсное напряжение в открытом состоянии, макс	В	3.20 2.85 $T_j = T_{j\max}$; $I_{TM} = 3200$ А $T_j = 25$ °С; $I_{TM} = 2512$ А
$U_{T(ТО)}$	Пороговое напряжение, макс	В	1.50
r_T	Динамическое сопротивление в открытом состоянии, макс	МОм	0.500 $T_j = T_{j\max}$; $0.5 I_{TAV} < I_T < 1.5 I_{TAV}$
I_H	Ток удержания, макс	мА	500 $T_j = 25$ °С; $U_D = 12$ В; управление разомкнуто
Блокирующие характеристики			
I_{DRM}, I_{RRM}	Повторяющийся импульсный обратный ток и повторяющийся импульсный ток в закрытом состоянии, макс	мА	150 $T_j = T_{j\max}$; $U_D = U_{DRM}$; $U_R = U_{RRM}$
$(du_D/dt)_{crit}$	Критическая скорость нарастания напряжения в закрытом состоянии ¹⁾ , мин	В/мкс	200, 320, 500, 1000 $T_j = T_{j\max}$; $U_D = 0.67 \cdot U_{DRM}$; управление разомкнуто

Характеристики управления					
U_{GT}	Отпирающее постоянное напряжение управления, макс	В	4.00 2.50 2.00	$T_J = T_{J \min}$ $T_J = 25 \text{ }^\circ\text{C}$ $T_J = T_{J \max}$	$U_D = 12 \text{ В}; I_D = 3 \text{ А};$ Постоянный ток управления
I_{GT}	Отпирающий постоянный ток управления, макс	мА	500 300 200	$T_J = T_{J \min}$ $T_J = 25 \text{ }^\circ\text{C}$ $T_J = T_{J \max}$	
U_{GD}	Неотпирающее постоянное напряжение управления, мин	В	0.25	$T_J = T_{J \max};$ $U_D = 0.67 \cdot U_{DRM};$	Постоянный ток управления
I_{GD}	Неотпирающий постоянный ток управления, мин	мА	10.00		
Динамические характеристики					
t_{gd}	Время задержки включения, макс	мкс	0.88	$T_J = 25 \text{ }^\circ\text{C}; U_D = 1500 \text{ В}; I_{TM} = I_{TAV};$ $di/dt = 200 \text{ А/мкс};$	
t_{gt}	Время включения ²⁾	мкс	2.50, 3.20, 4.00, 6.30	Импульс управления: $I_G = 2 \text{ А}; U_G = 20 \text{ В};$ $t_{GP} = 50 \text{ мкс}; di_G/dt = 2 \text{ А/мкс}$	
t_q	Время выключения ³⁾ , макс	мкс	40.0, 50.0, 63.0	$du_D/dt = 50 \text{ В/мкс};$	$T_J = T_{J \max}; I_{TM} = I_{TAV}; di_R/dt = -10 \text{ А/мкс};$ $U_R = 100 \text{ В};$ $U_D = 0.67 U_{DRM}$
			50.0, 63.0, 80.0	$du_D/dt = 200 \text{ В/мкс};$	
Q_{rr}	Заряд обратного восстановления, макс	мкКл	770	$T_J = T_{J \max}; I_{TM} = I_{TAV}; di_R/dt = -50 \text{ А/мкс};$ $U_R = 100 \text{ В}$	
t_{rr}	Время обратного восстановления, макс	мкс	7.0		
I_{rrM}	Ток обратного восстановления, макс	А	220		
Тепловые характеристики					
R_{thjc}	Тепловое сопротивление р-п переход-корпус, макс	$^\circ\text{C/Вт}$	0.0200	Постоянный ток	Двухстороннее охлаждение
R_{thjc-A}			0.0440		Охлаждение со стороны анода
R_{thjc-K}			0.0360		Охлаждение со стороны катода
R_{thck}	Тепловое сопротивление корпус-охладитель, макс	$^\circ\text{C/Вт}$	0.0040	Постоянный ток	
Механические характеристики					
w	Масса, макс	г	550		
D_s	Длина пути тока утечки по поверхности	мм (дюйм)	29.47 (1.160)		
D_a	Длина пути тока утечки по воздуху	мм (дюйм)	17.50 (0.689)		

ГАБАРИТНЫЕ РАЗМЕРЫ

Тип корпуса: Т.Д2 (РТ53)



- К – катод;
- А – анод;
- К1 – вспомогательный катод;
- Г – управляющий электрод;

Все размеры в миллиметрах

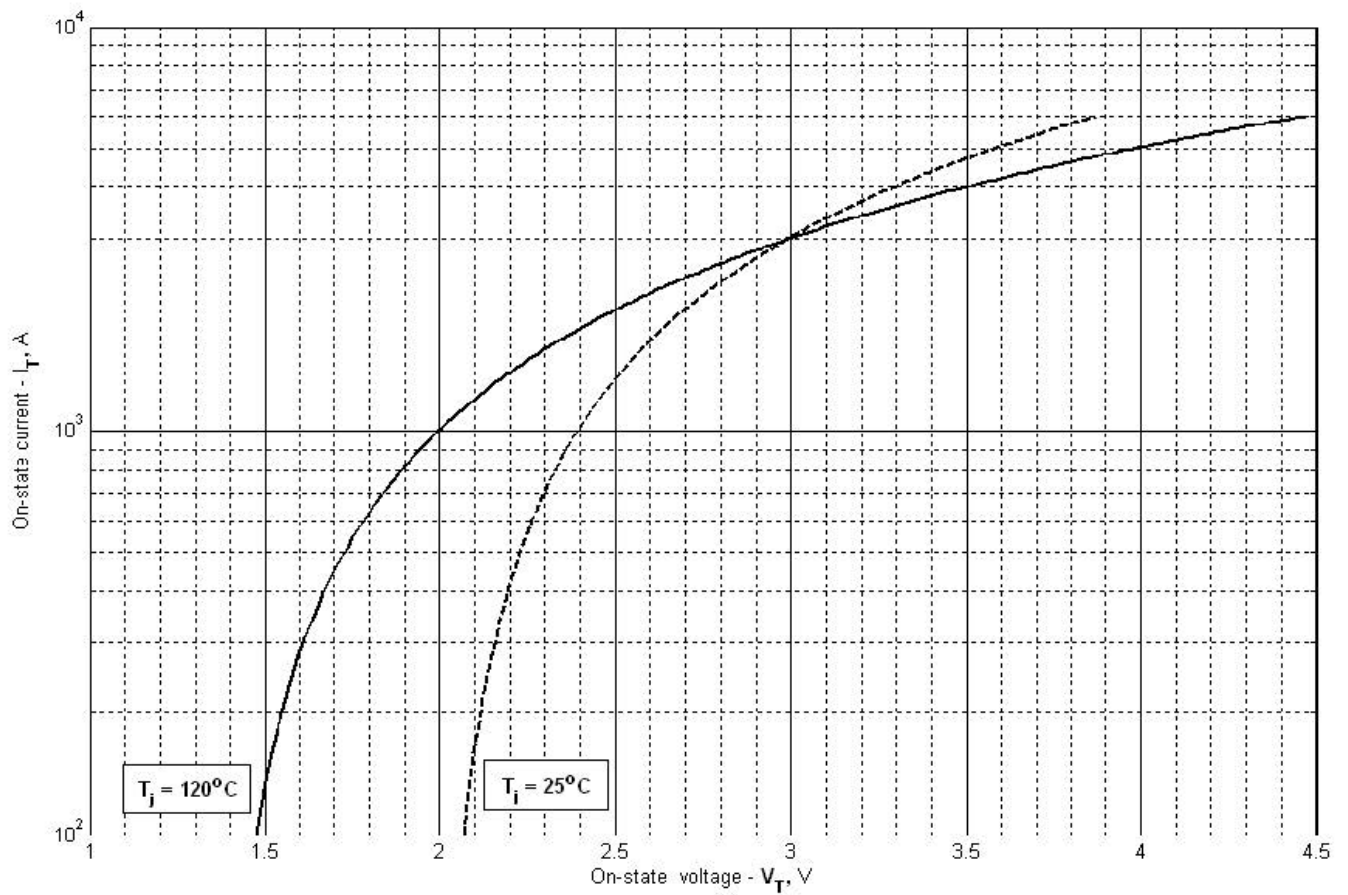


Рис. 1 – Вольт – амперная характеристика в открытом состоянии

Аналитическая функция вольт — амперной характеристики в открытом состоянии:

$$V_T = A + B \cdot i_T + C \cdot \ln(i_T + 1) + D \cdot \sqrt{i_T}$$

	Коэффициенты для графика	
	$T_j = 25^\circ\text{C}$	$T_j = T_{j\text{max}}$
A	1.967194	1.329742
B	0.254400	0.439131
C	-0.166422	-0.222268
D	0.285964	0.381925

Модель вольт – амперной характеристики в открытом состоянии (см. Рис. 1)

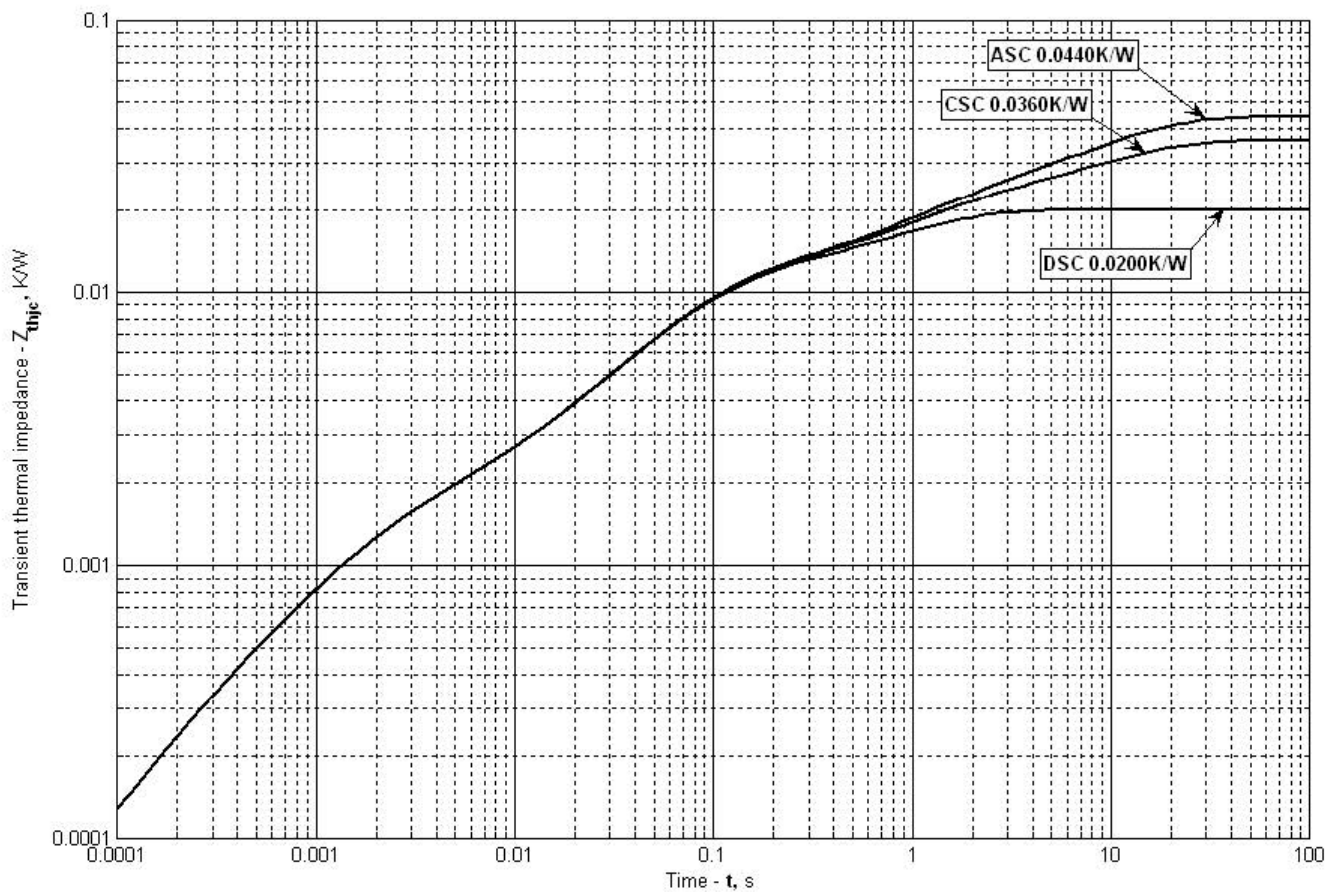


Рис. 2 – Переходное тепловое сопротивление

Аналитическая зависимость переходного теплового сопротивления переход — корпус:

$$Z_{thjc} = \sum_{i=1}^n R_i \left(1 - e^{-\frac{t}{\tau_i}} \right)$$

Где $i = 1$ to n , n – число суммирующихся элементов.

t = продолжительность импульсного нагрева в секундах.

Z_{thjc} = Тепловое сопротивление за время t .

R_i, τ_i = расчетные коэффициенты, приведенные в таблице.

Постоянный ток, двустороннее охлаждение

i	1	2	3	4	5	6
$R_i, K/W$	-1.888e-006	0.009096	0.009331	0.0001969	0.001089	0.000289
τ_i, s	9.752	0.9752	0.06926	0.02587	0.00197	0.0004773

Постоянный ток, охлаждение со стороны катода

i	1	2	3	4	5	6
$R_i, K/W$	0.01613	0.008994	0.00918	0.0004987	0.001111	0.0002592
τ_i, s	9.752	1.077	0.06877	0.2401	0.001906	0.0004449

Постоянный ток, охлаждение со стороны анода

i	1	2	3	4	5	6
$R_i, K/W$	0.02418	0.009264	0.00939	3.212e-007	0.001074	0.0003088
τ_i, s	9.752	1.078	0.07024	0.2399	0.00201	0.0005003

Модель переходного теплового сопротивления переход - корпус (см. Рис. 2)

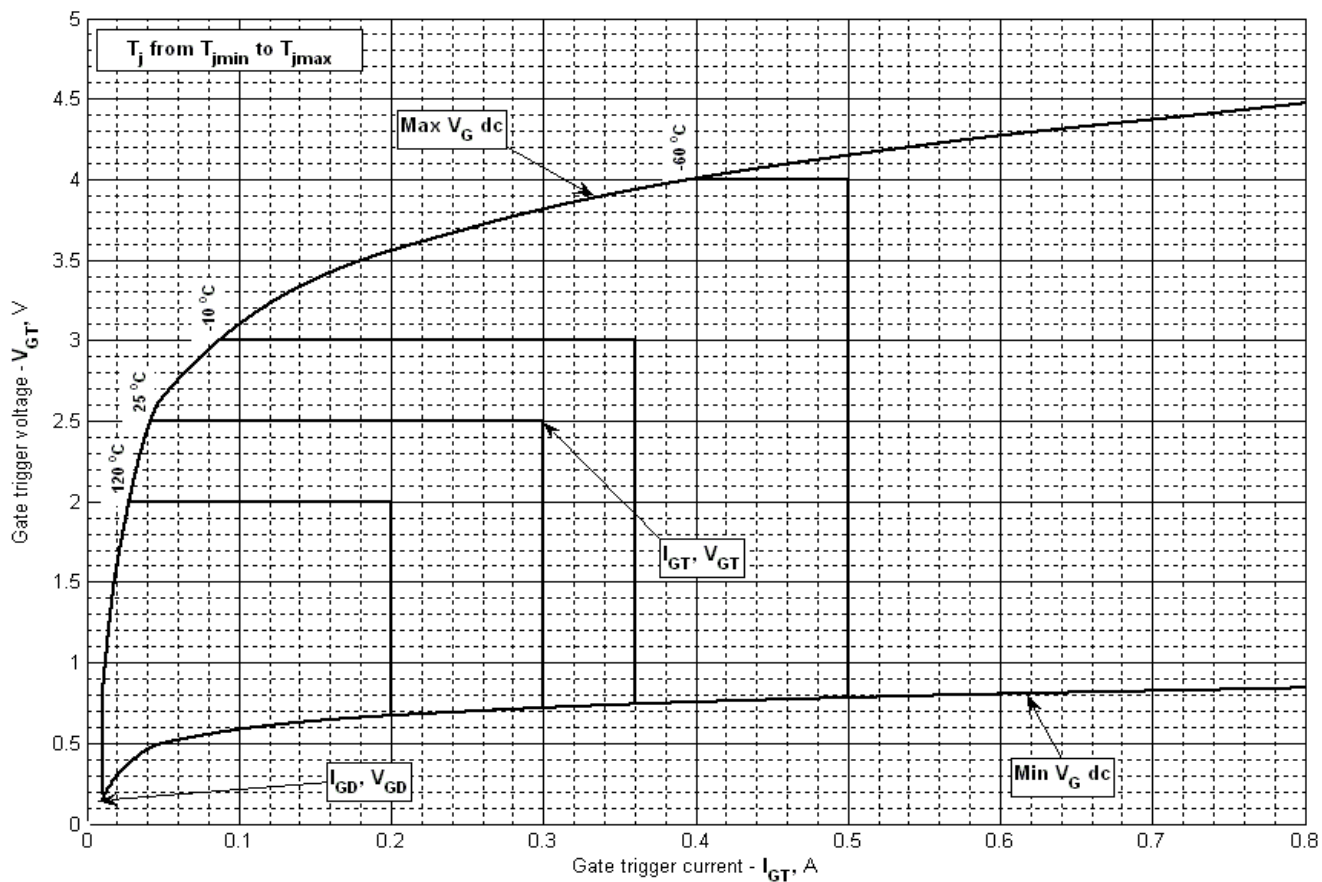


Рис. 3 - Вольт — амперная характеристика цепи управления

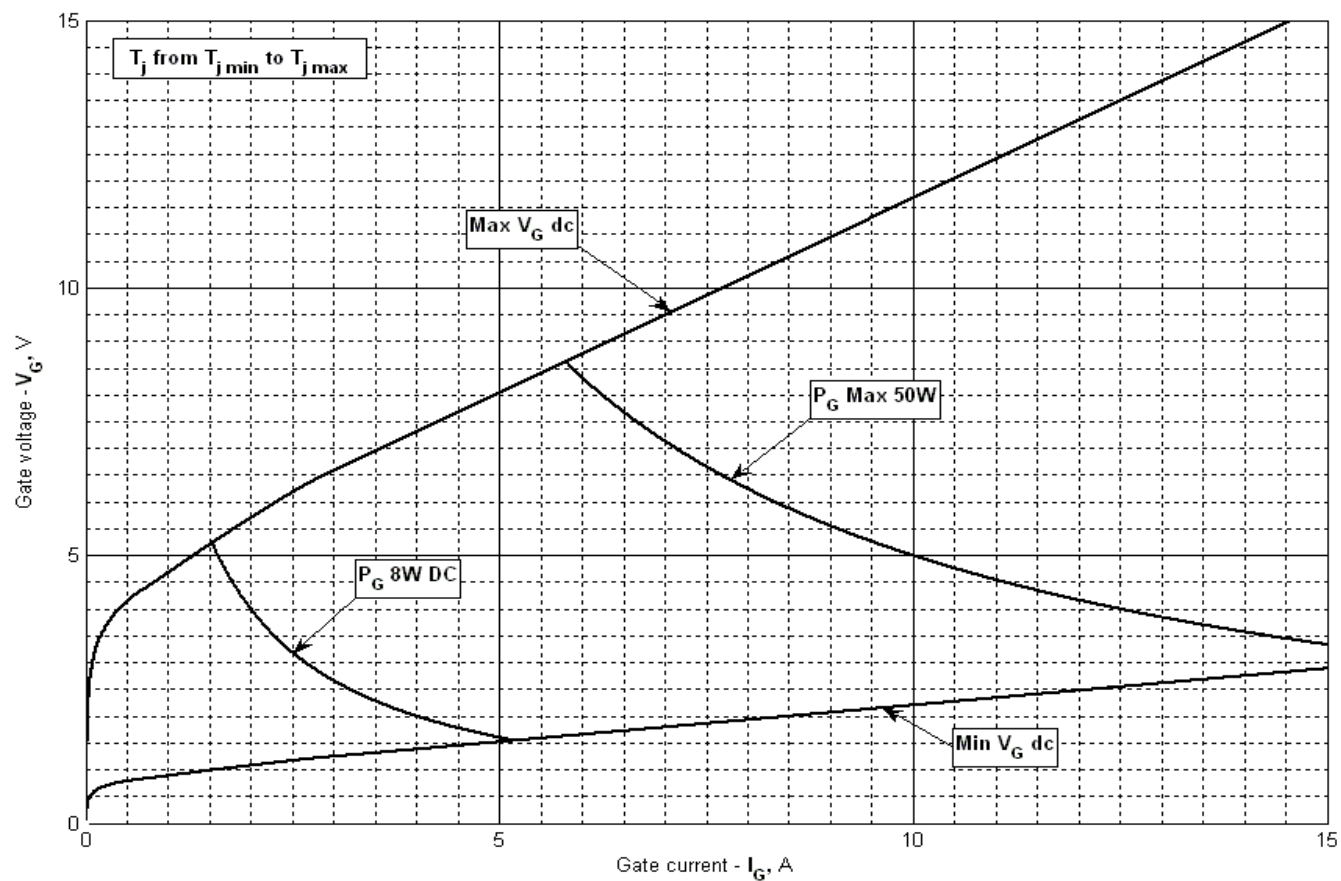


Рис. 4 - Вольт — амперная характеристика цепи управления — кривые мощности

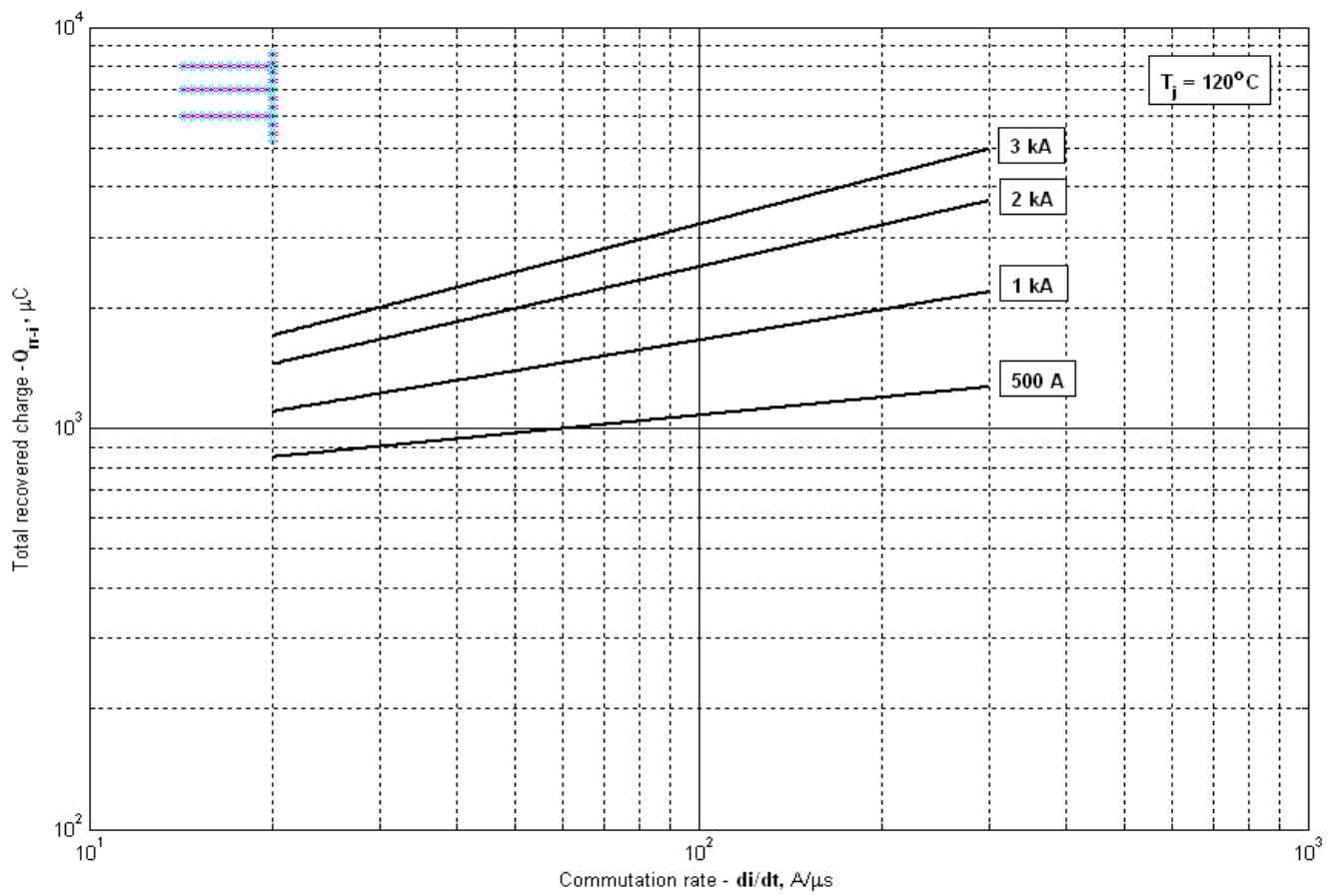


Рис. 5 – Максимальный интегральный заряд обратного восстановления, Q_{rr-i}

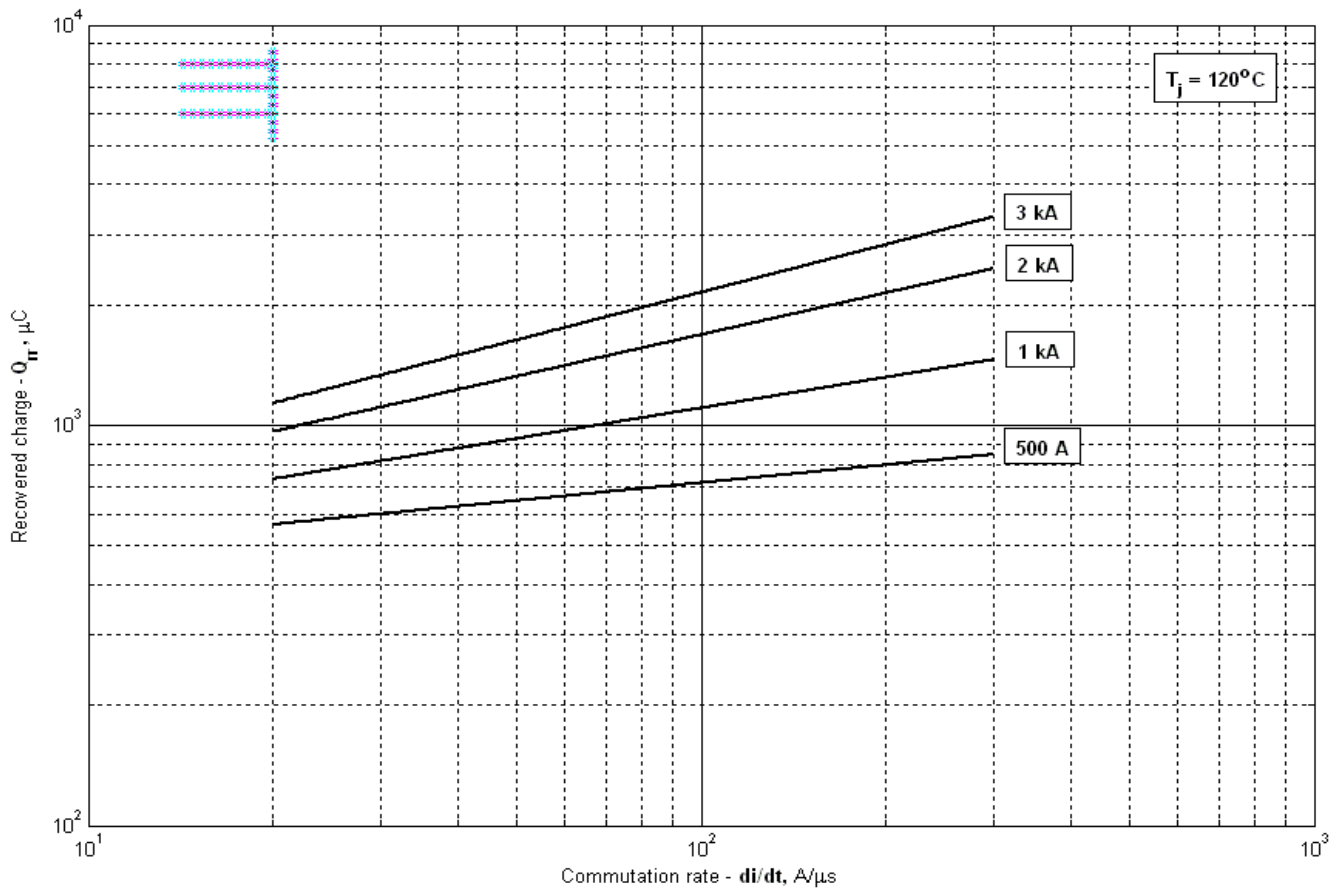


Рис. 6 – Максимальный заряд обратного восстановления, Q_{rr} (по ГОСТ 24461, хорда 25%)

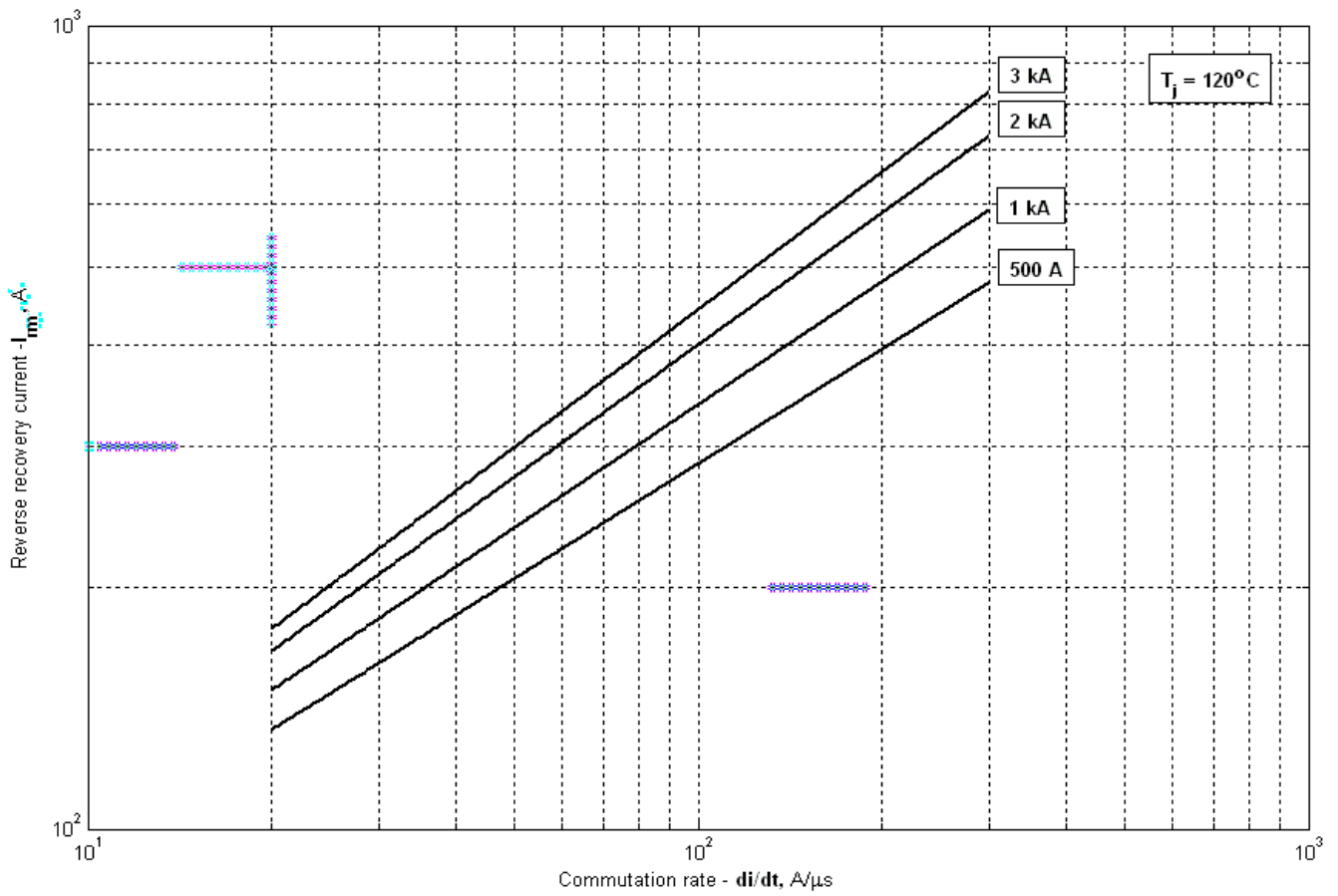


Рис. 7 – Максимальный ток обратного восстановления, I_{rm}

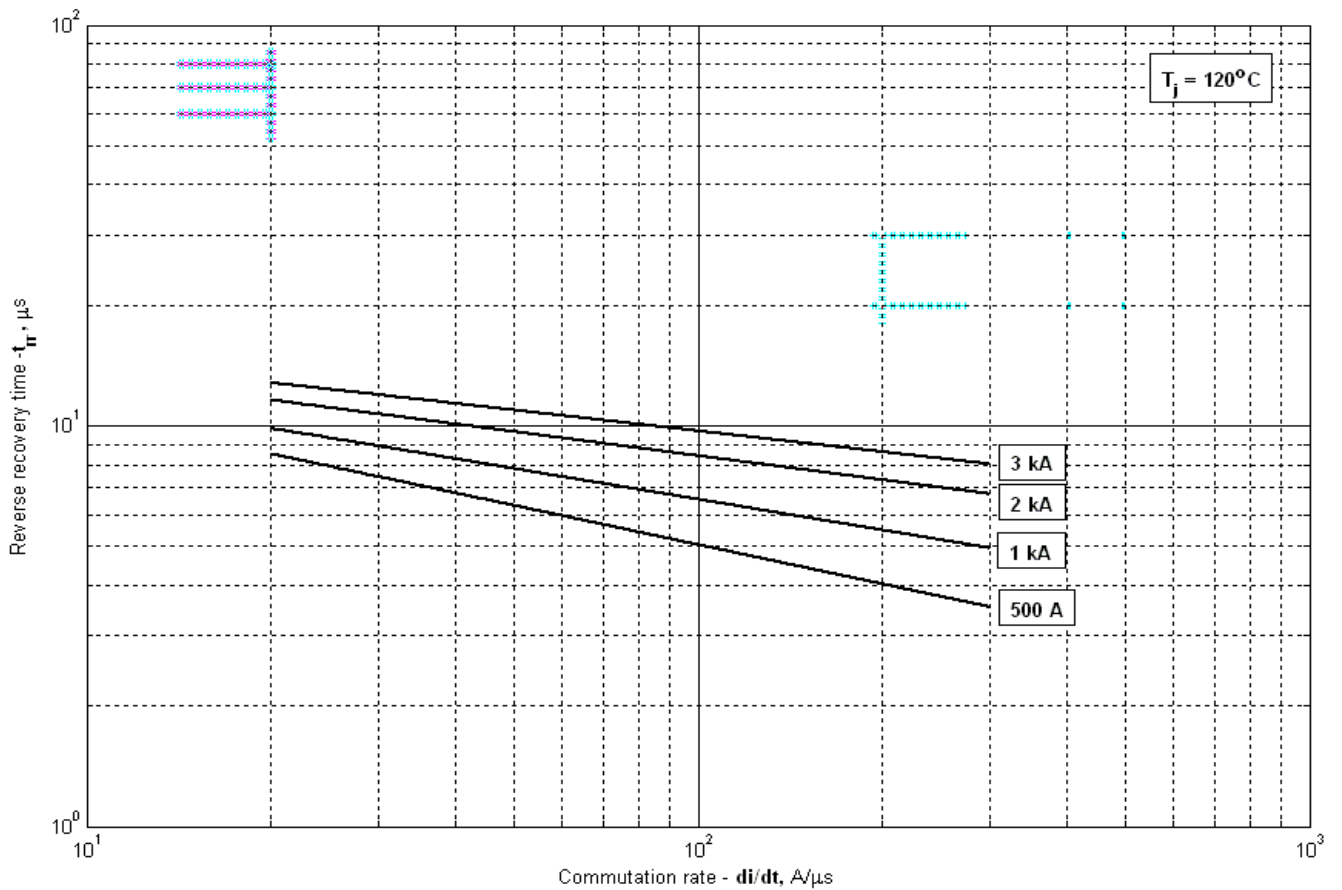


Рис. 8 – Максимальное время обратного восстановления, t_{rr} (по ГОСТ 24461, хорда 25%)

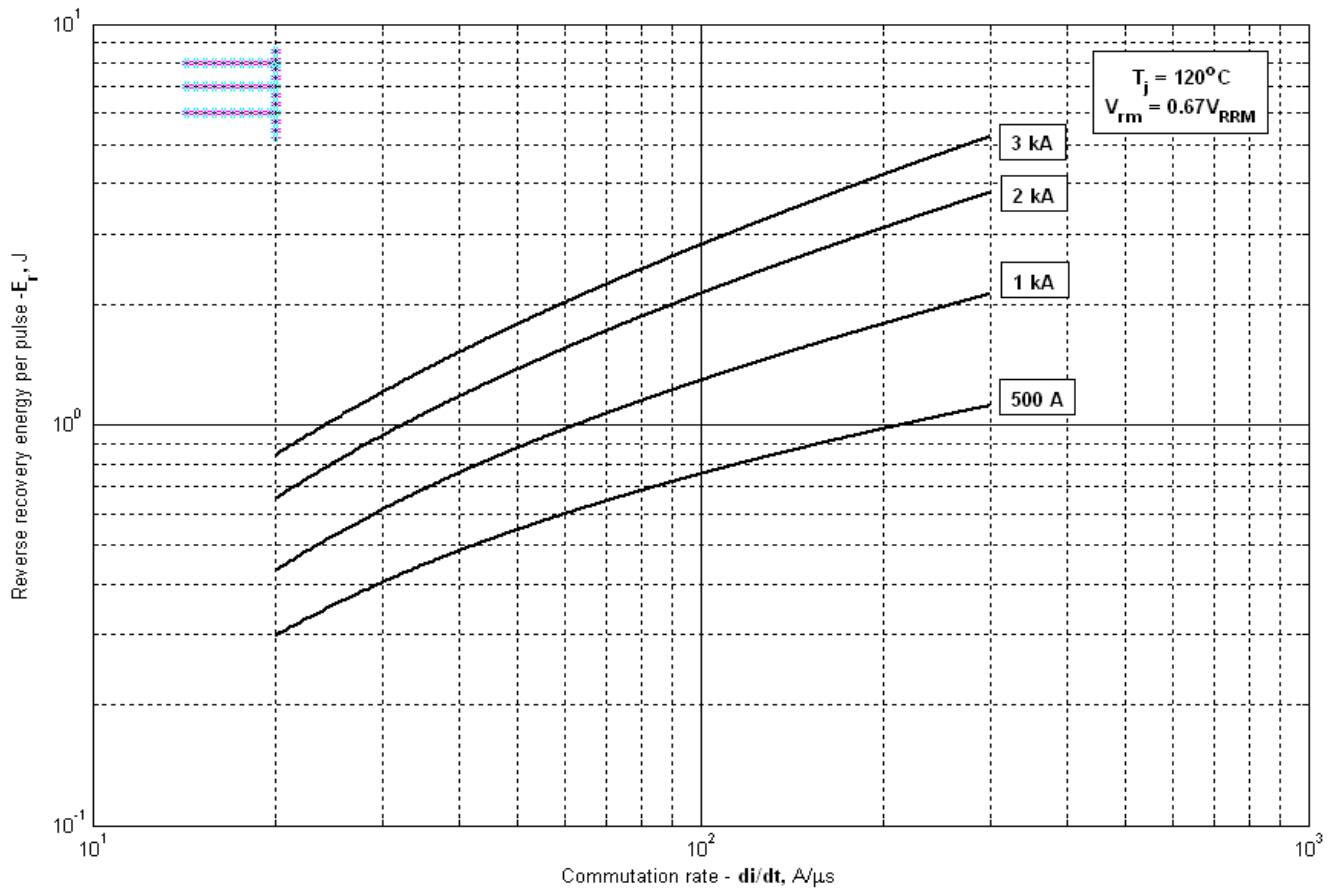


Рис. 9 – Энергия обратного восстановления за импульс

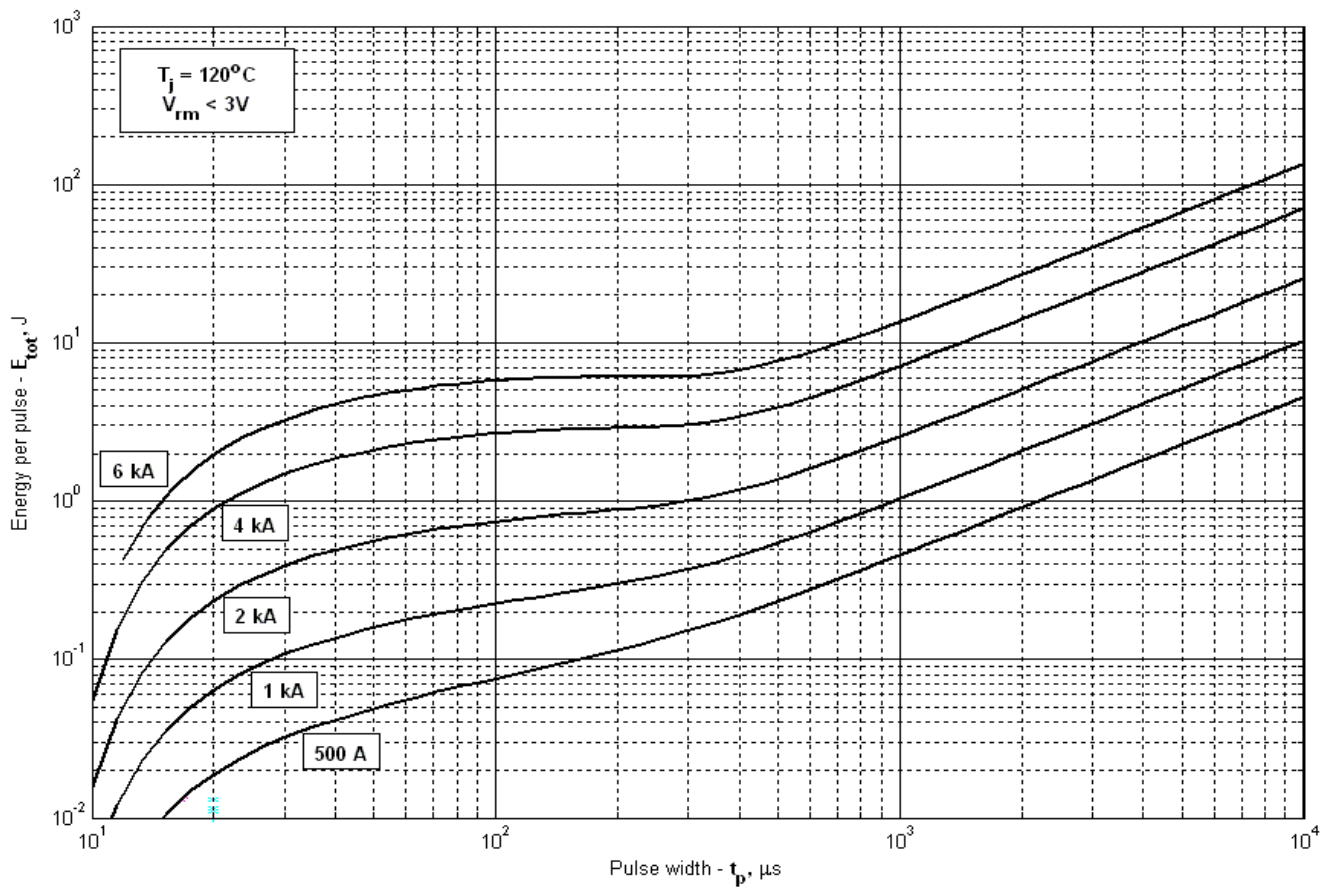


Рис. 10 – Суммарная энергия потерь одного синусоидального импульса тока

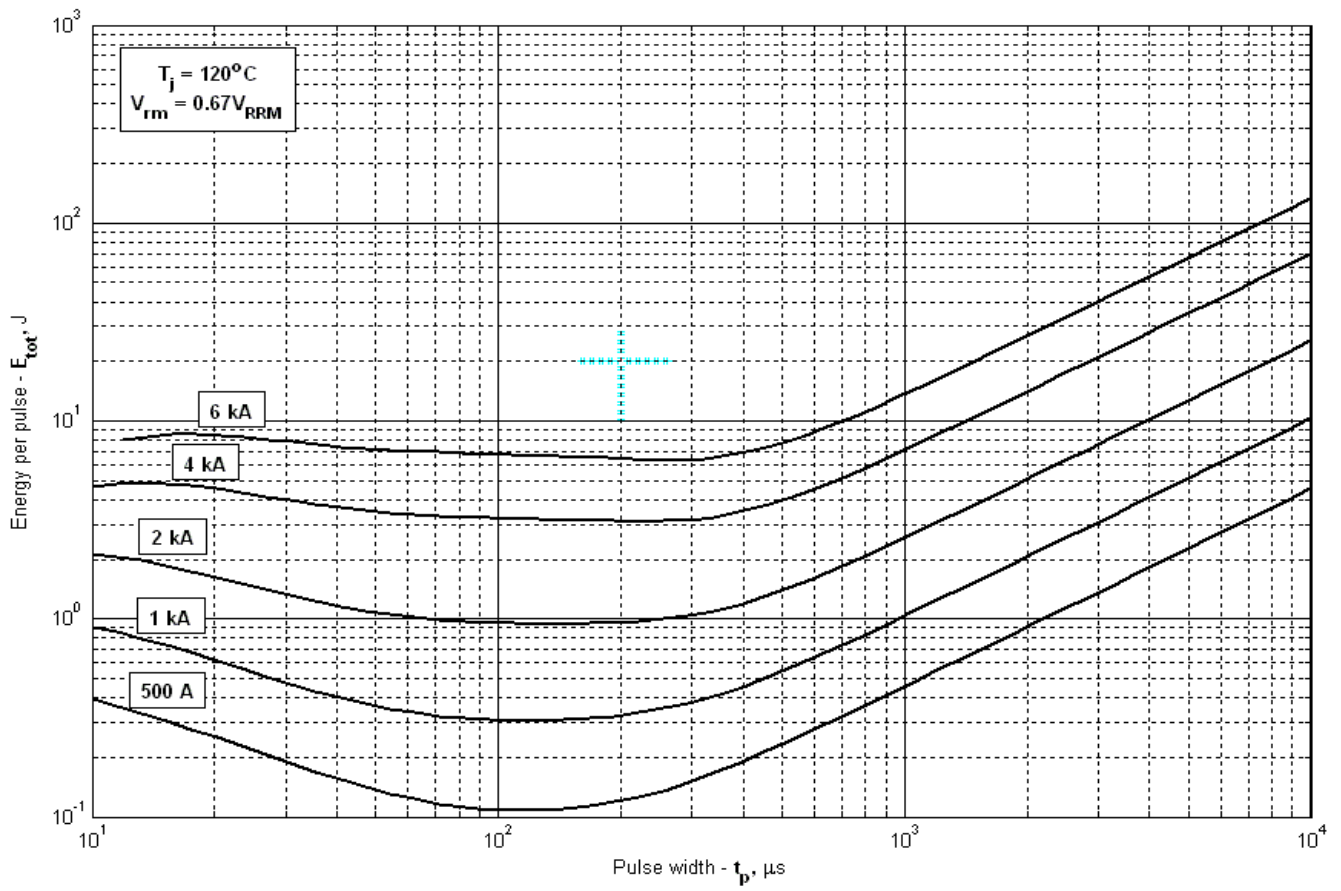


Рис. 11 – Суммарная энергия потерь одного синусоидального импульса тока

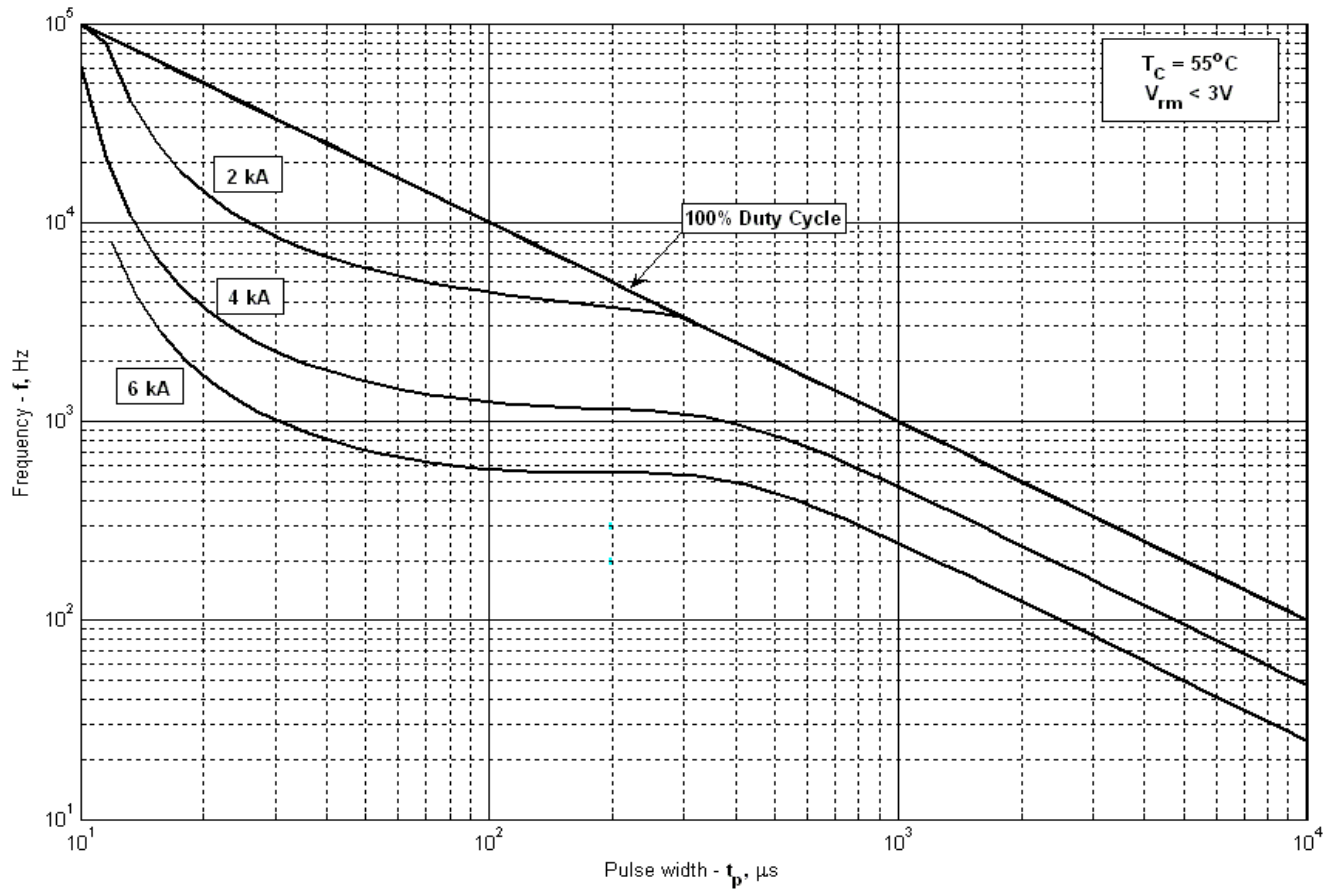


Рис. 12 – Зависимость частоты синусоидальных импульсов тока от длительности импульсов

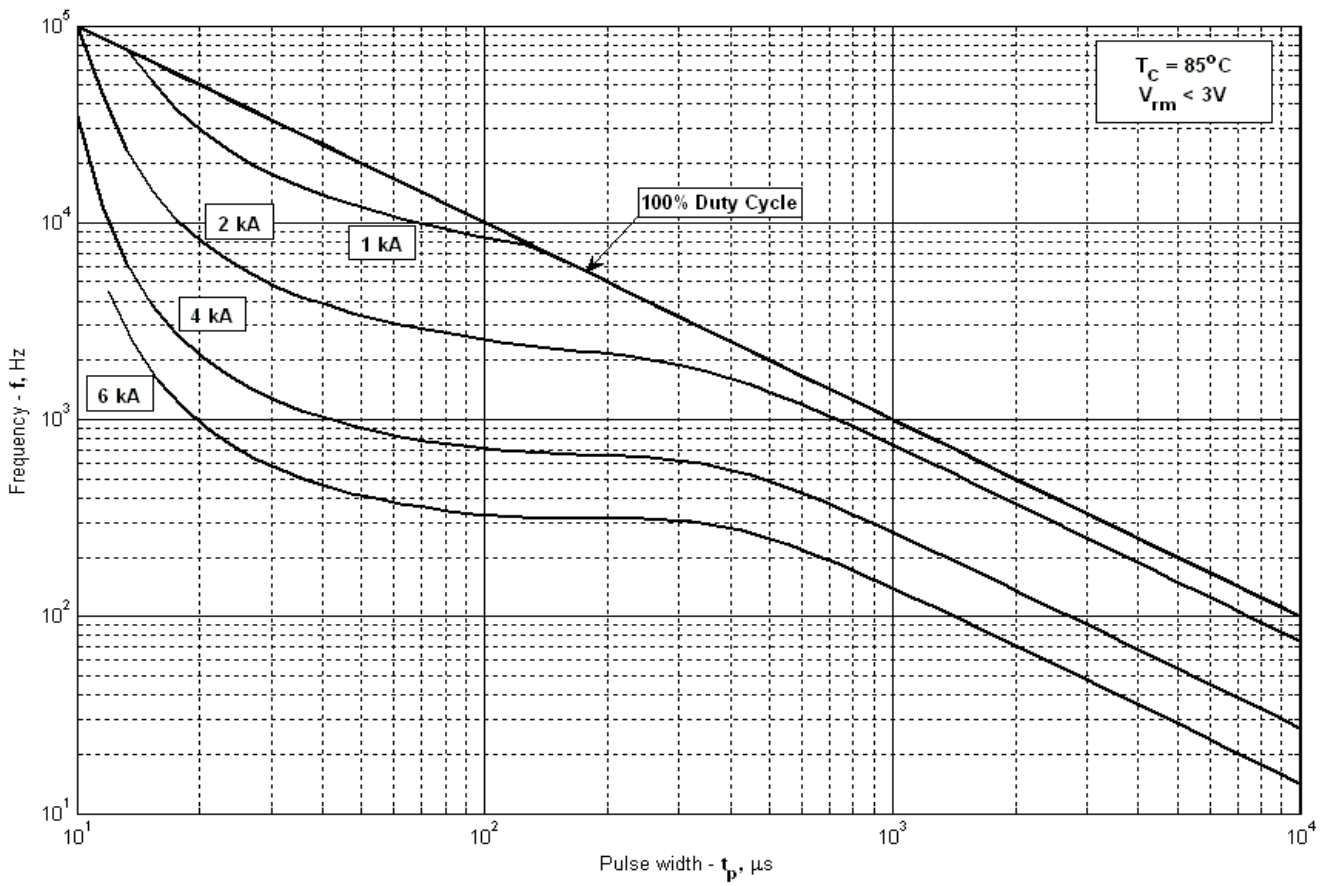


Рис. 13 – Зависимость частоты синусоидальных импульсов тока от длительности импульсов

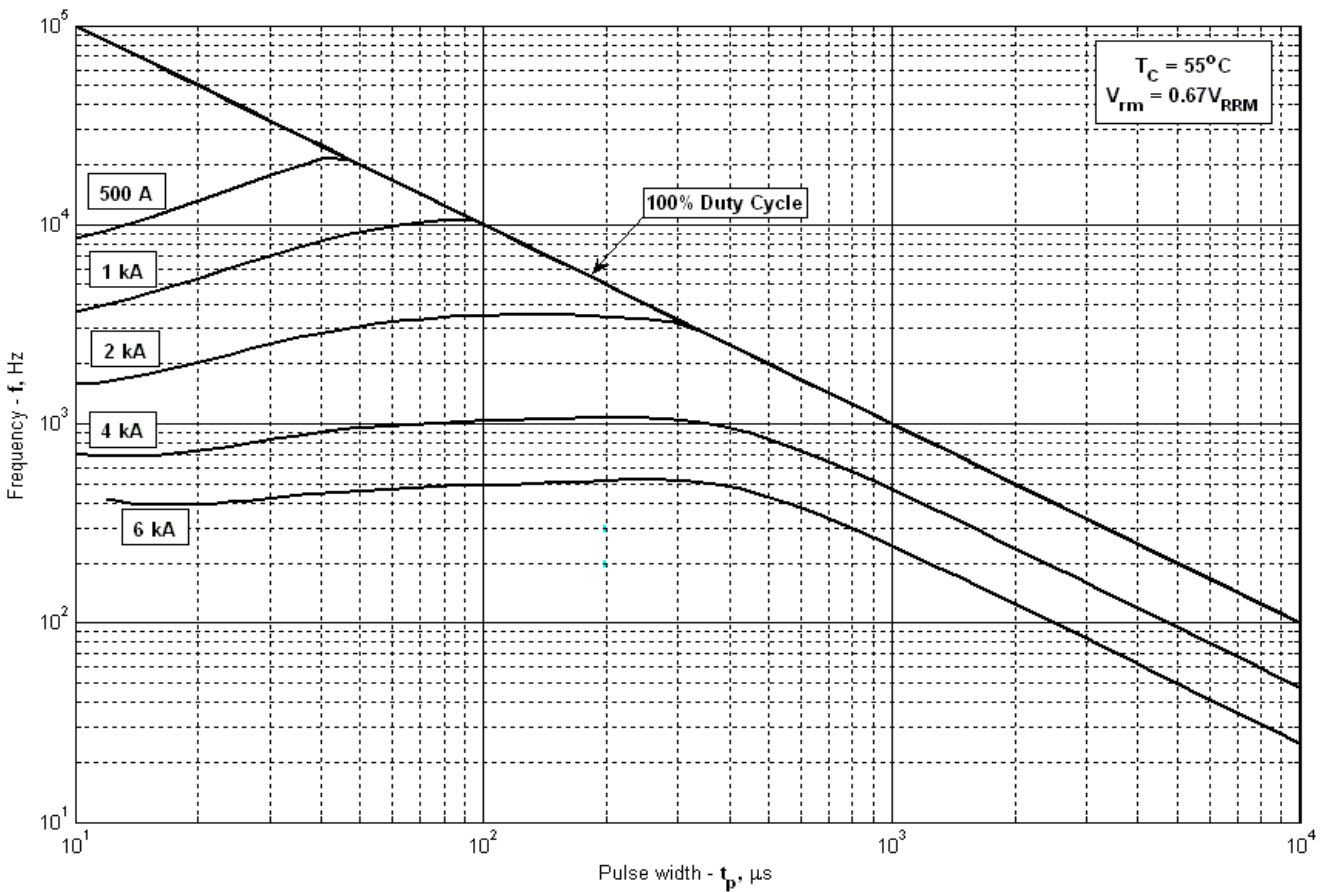


Рис. 14 – Зависимость частоты синусоидальных импульсов тока от длительности импульсов

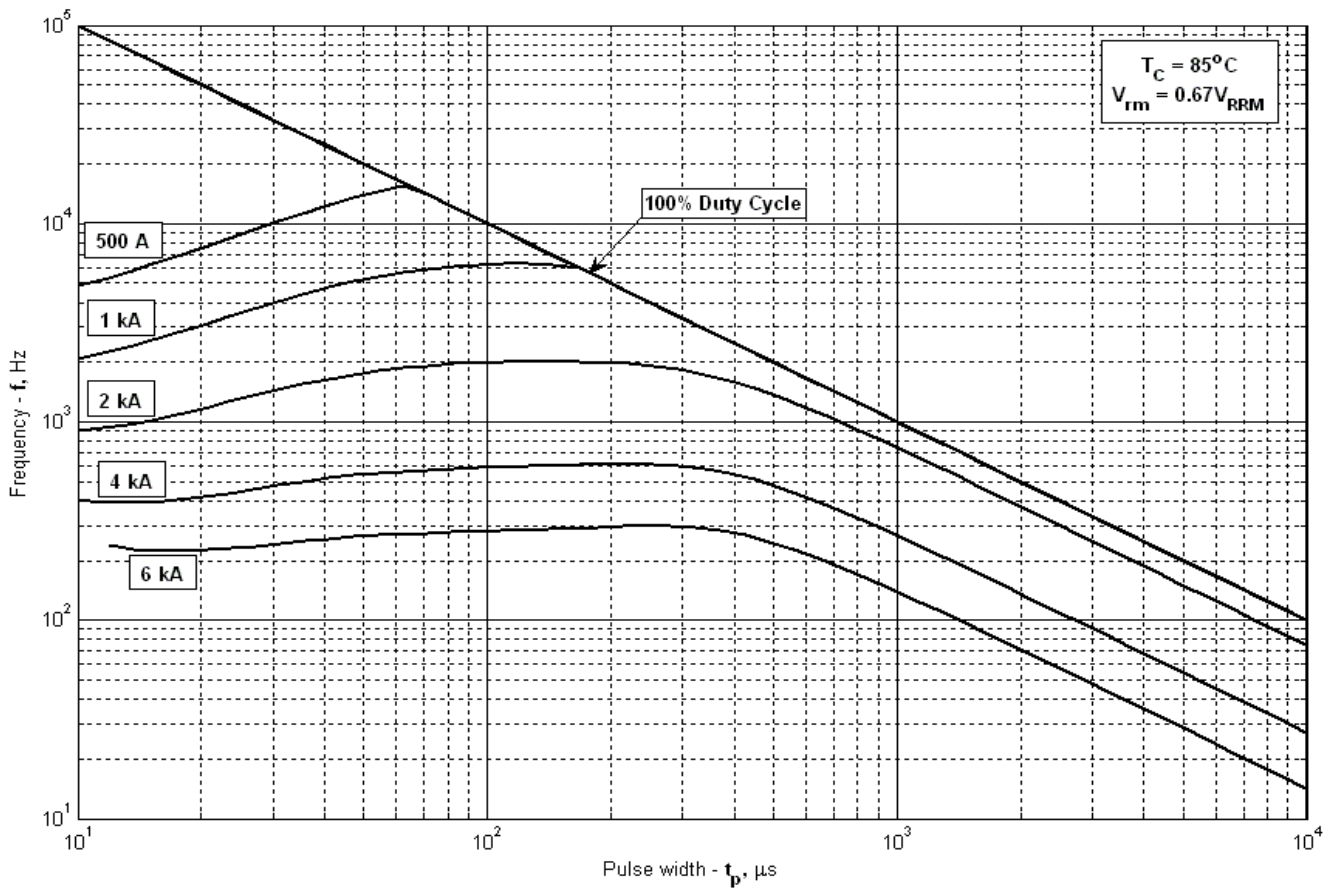


Рис. 15 – Зависимость частоты синусоидальных импульсов тока от длительности импульсов

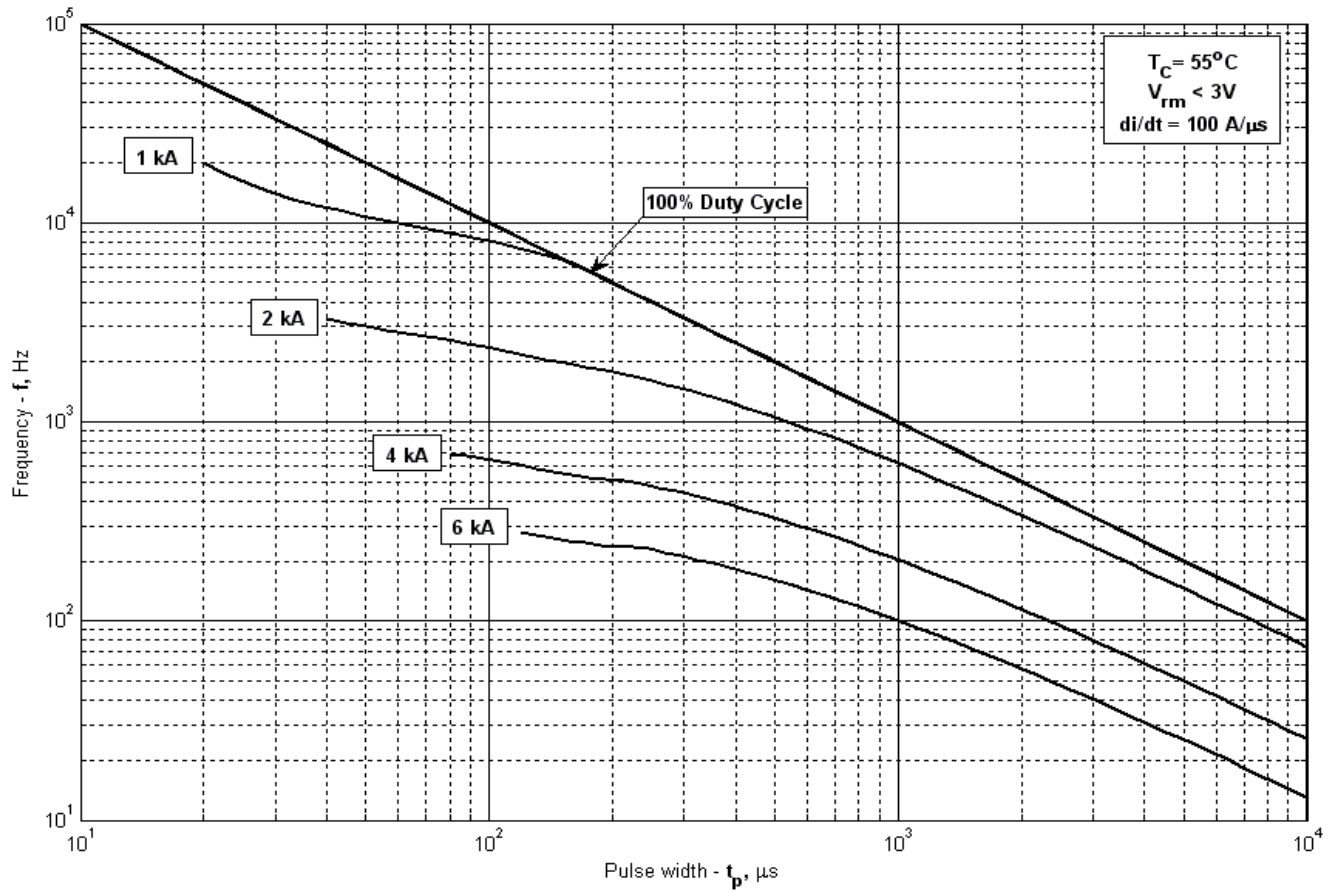


Рис. 16 – Зависимость частоты прямоугольных импульсов тока от длительности импульсов

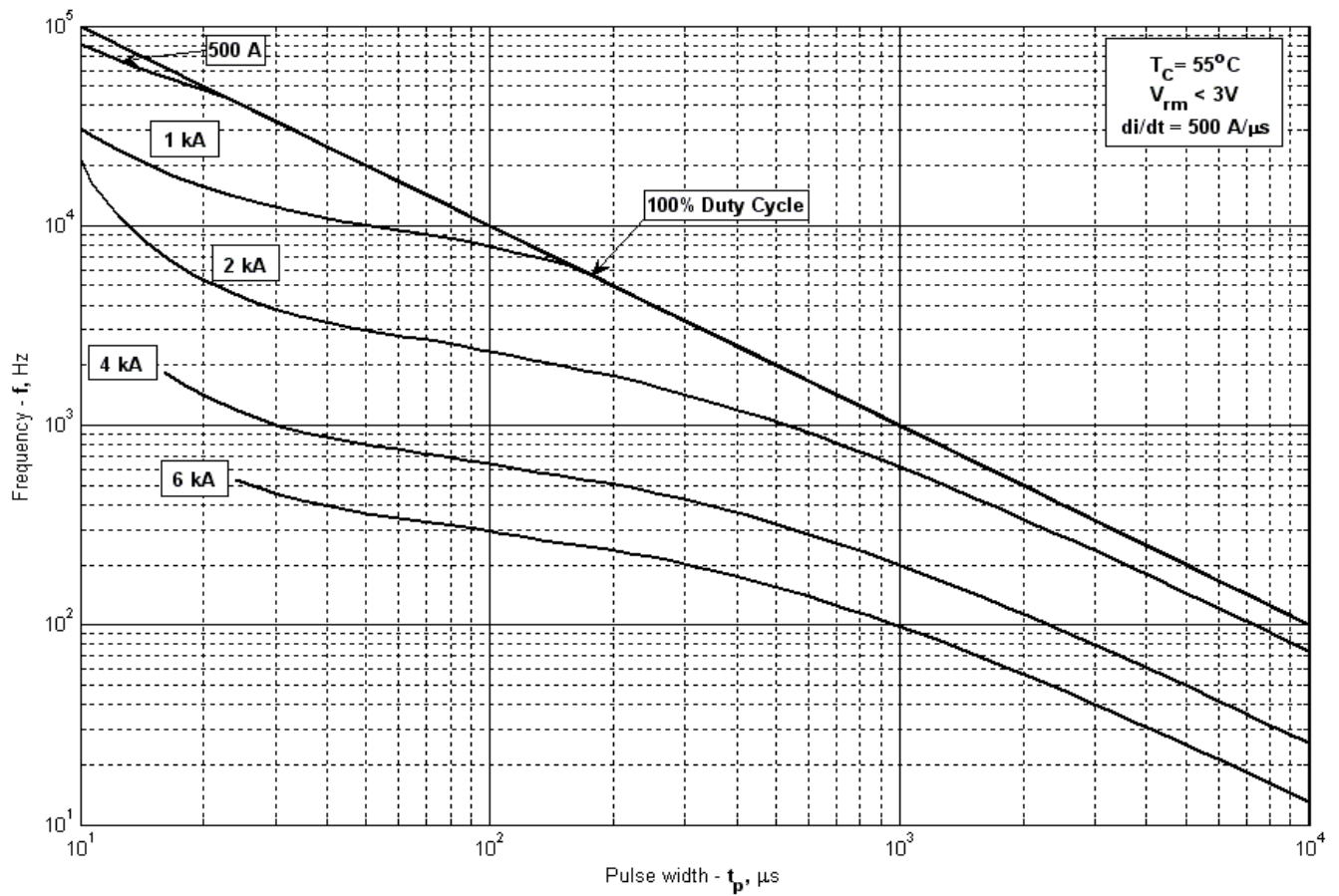


Рис. 17– Зависимость частоты прямоугольных импульсов тока от длительности импульсов

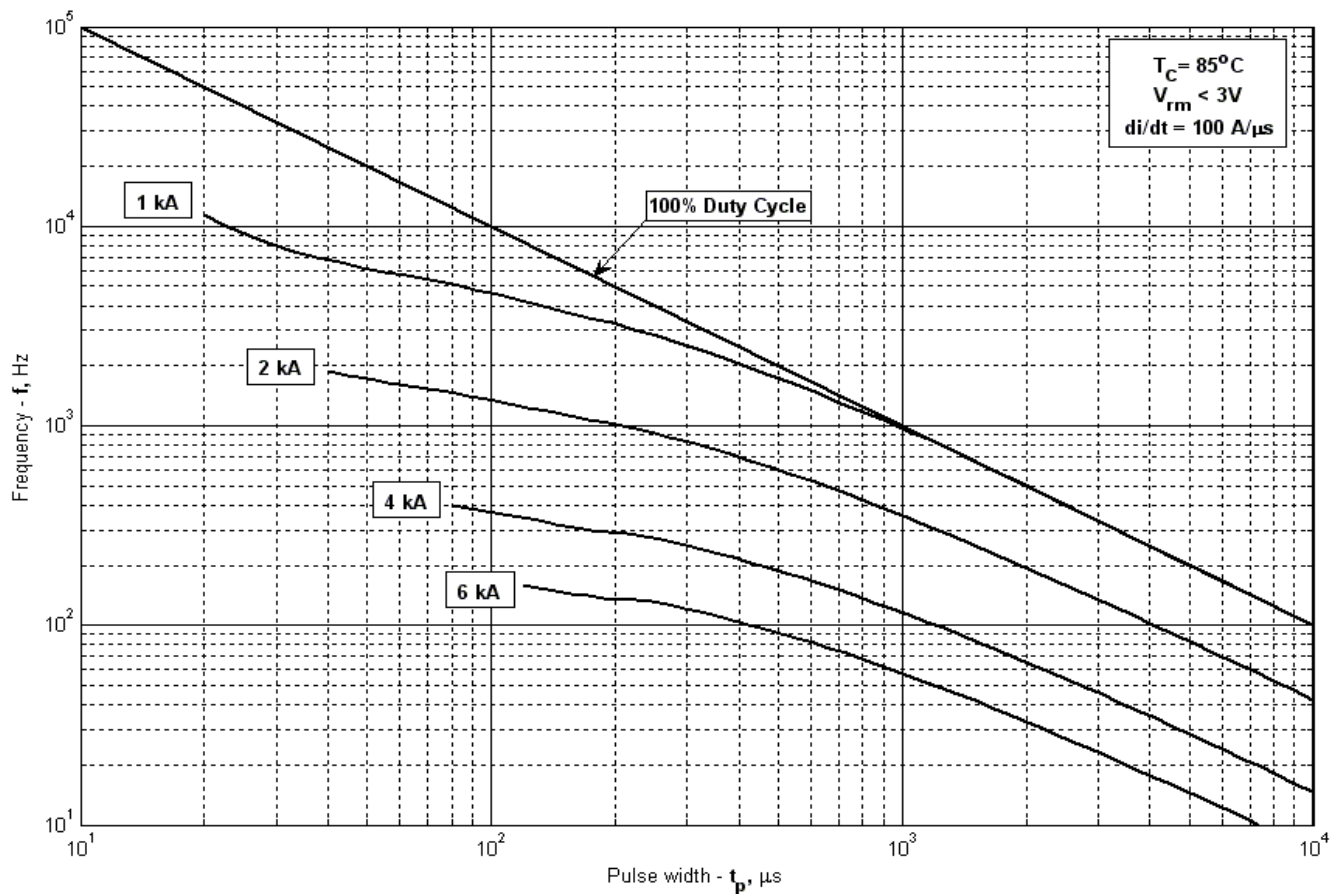


Рис. 18 – Зависимость частоты прямоугольных импульсов тока от длительности импульсов

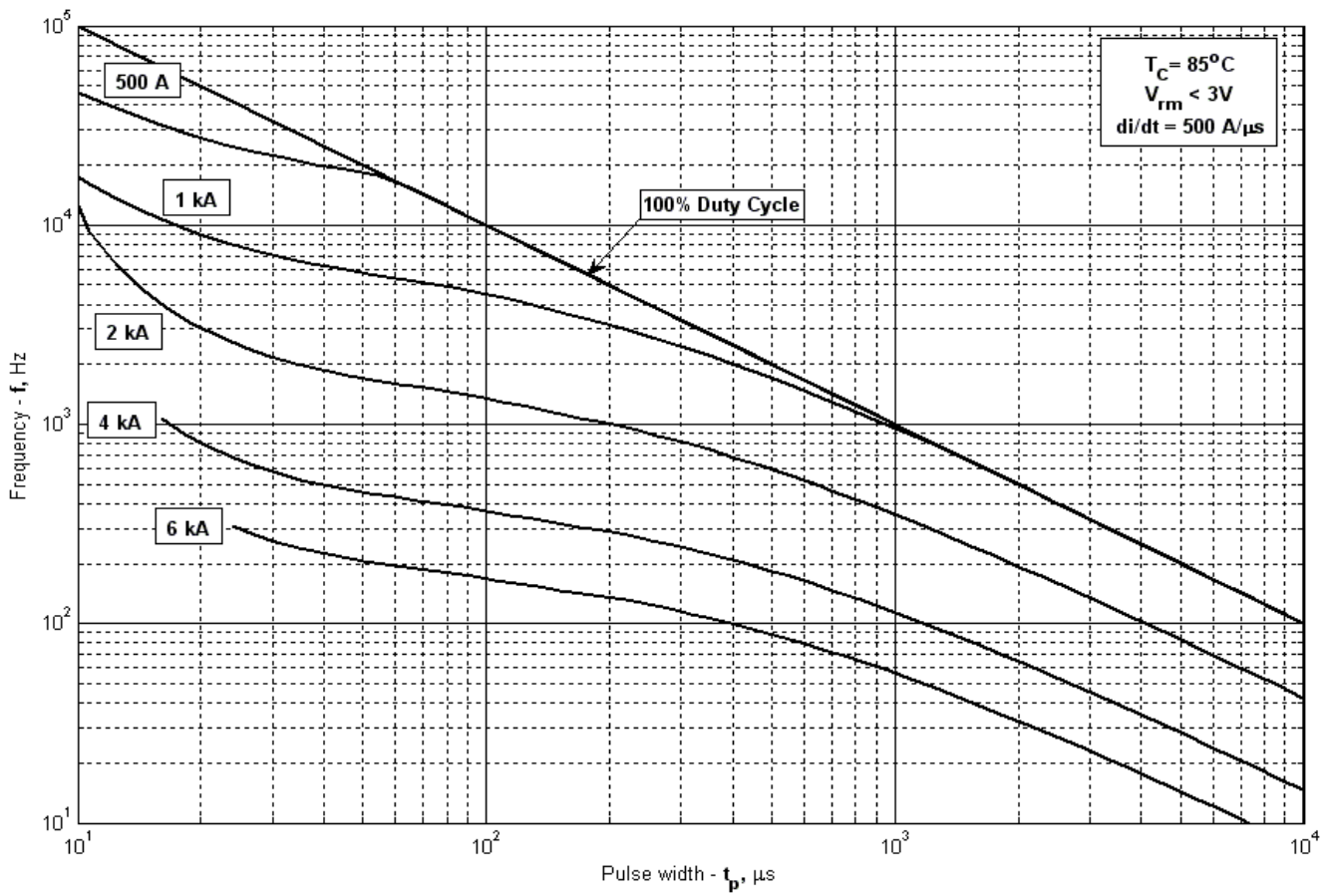


Рис. 19 – Зависимость частоты прямоугольных импульсов тока от длительности импульсов

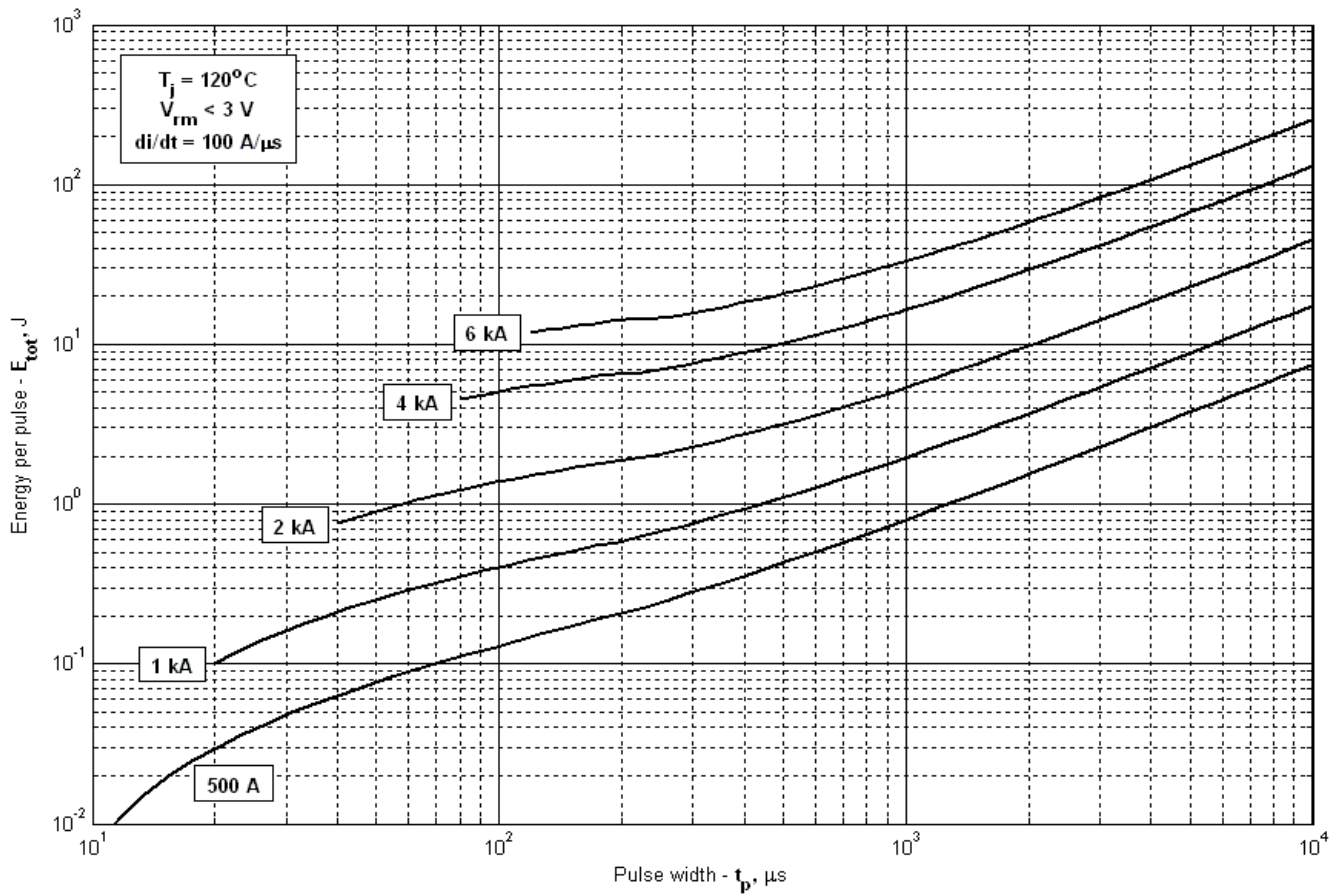


Рис. 20 – Суммарная энергия потерь одного прямоугольного импульса тока

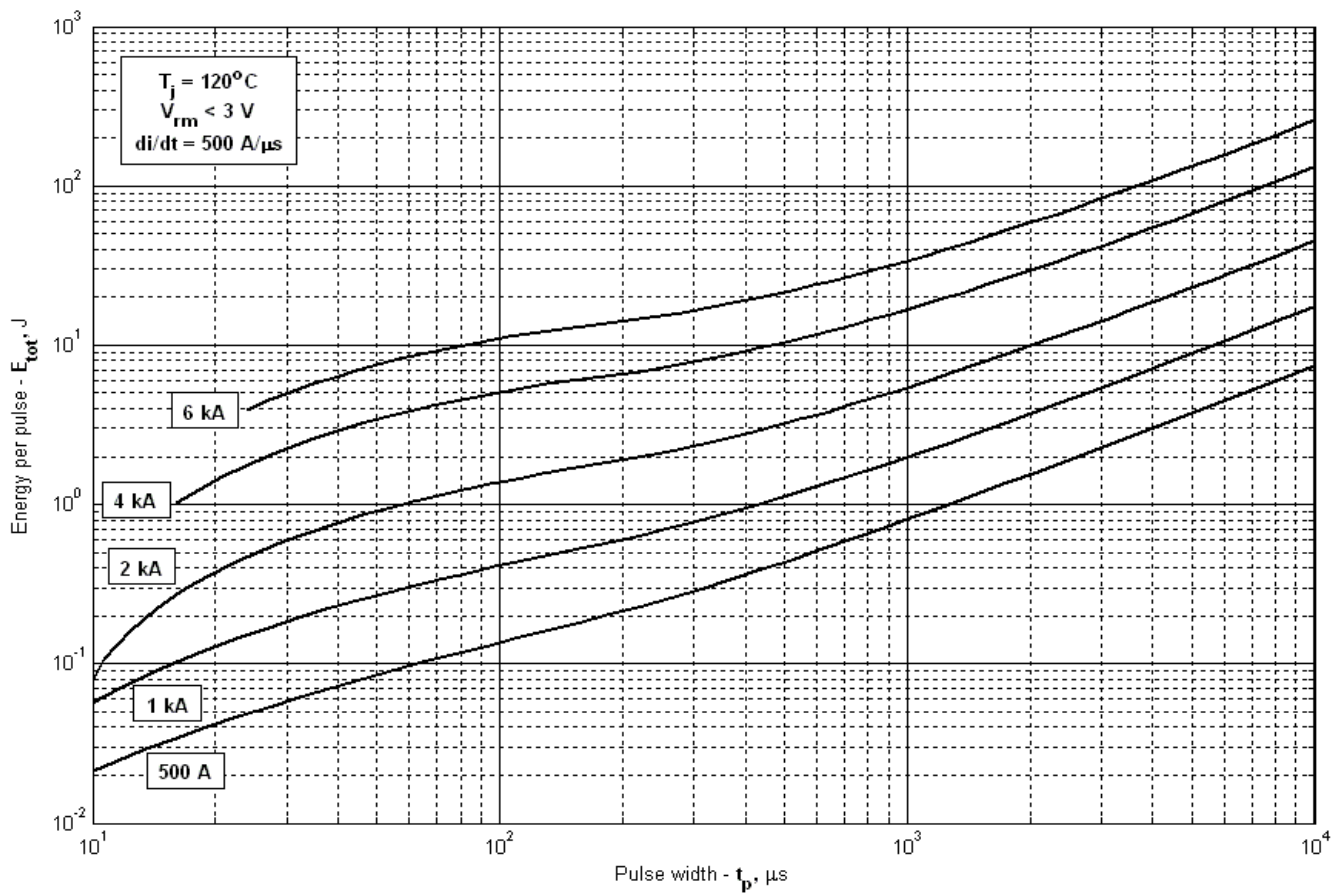


Рис. 21 – Суммарная энергия потерь одного прямоугольного импульса тока

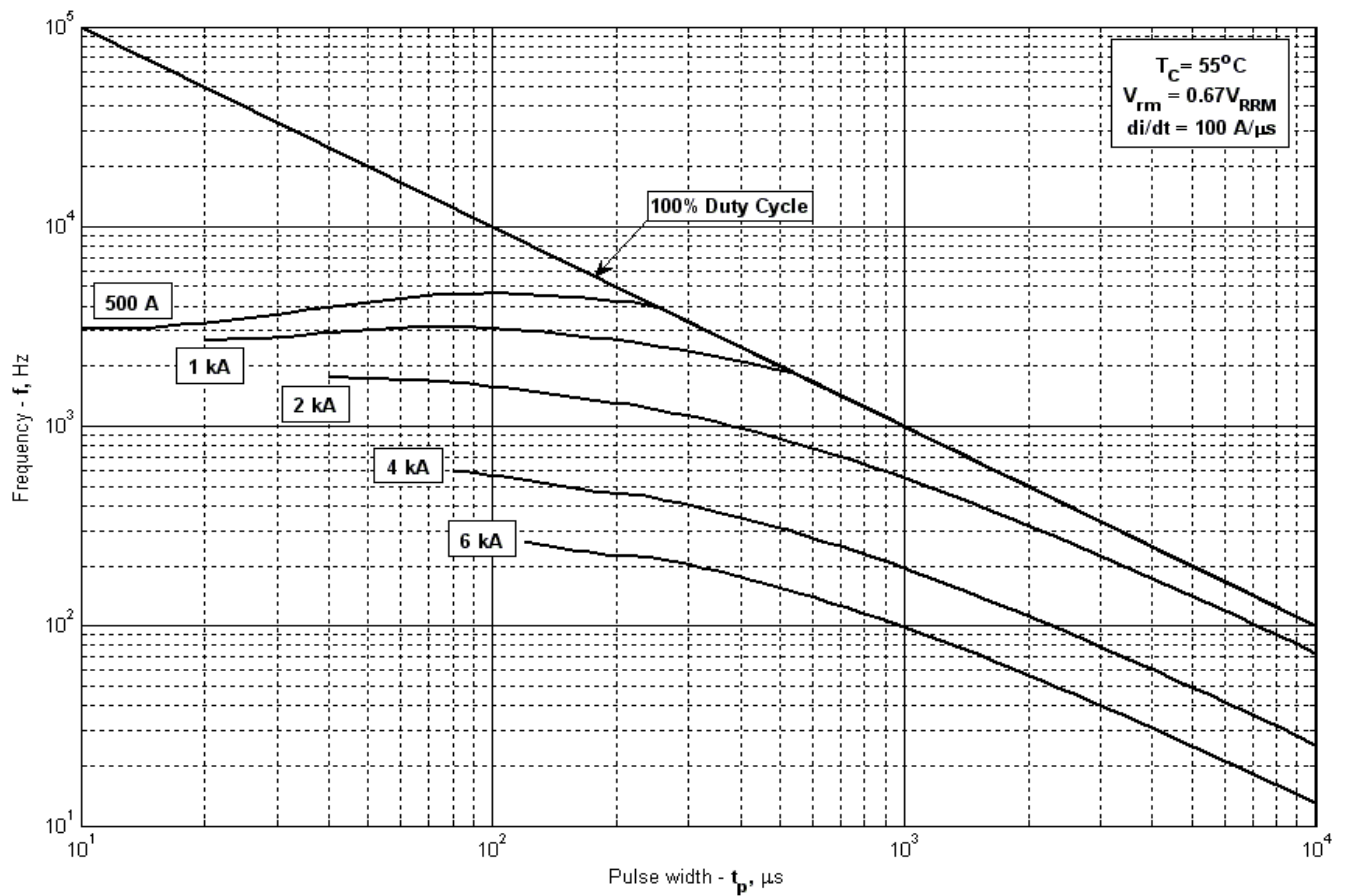


Рис. 22 – Зависимость частоты прямоугольных импульсов тока от длительности импульсов

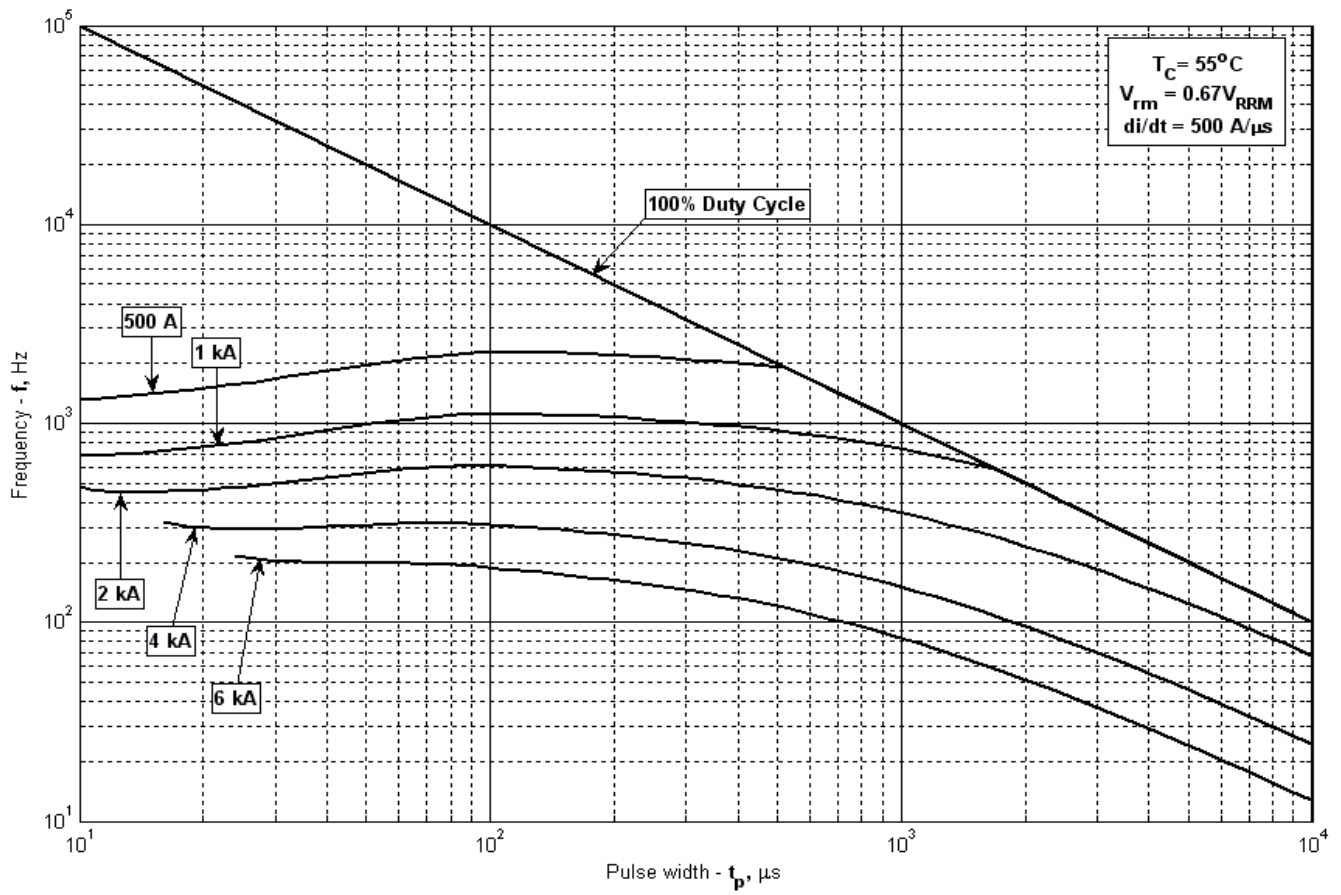


Рис. 23 – Зависимость частоты прямоугольных импульсов тока от длительности импульсов

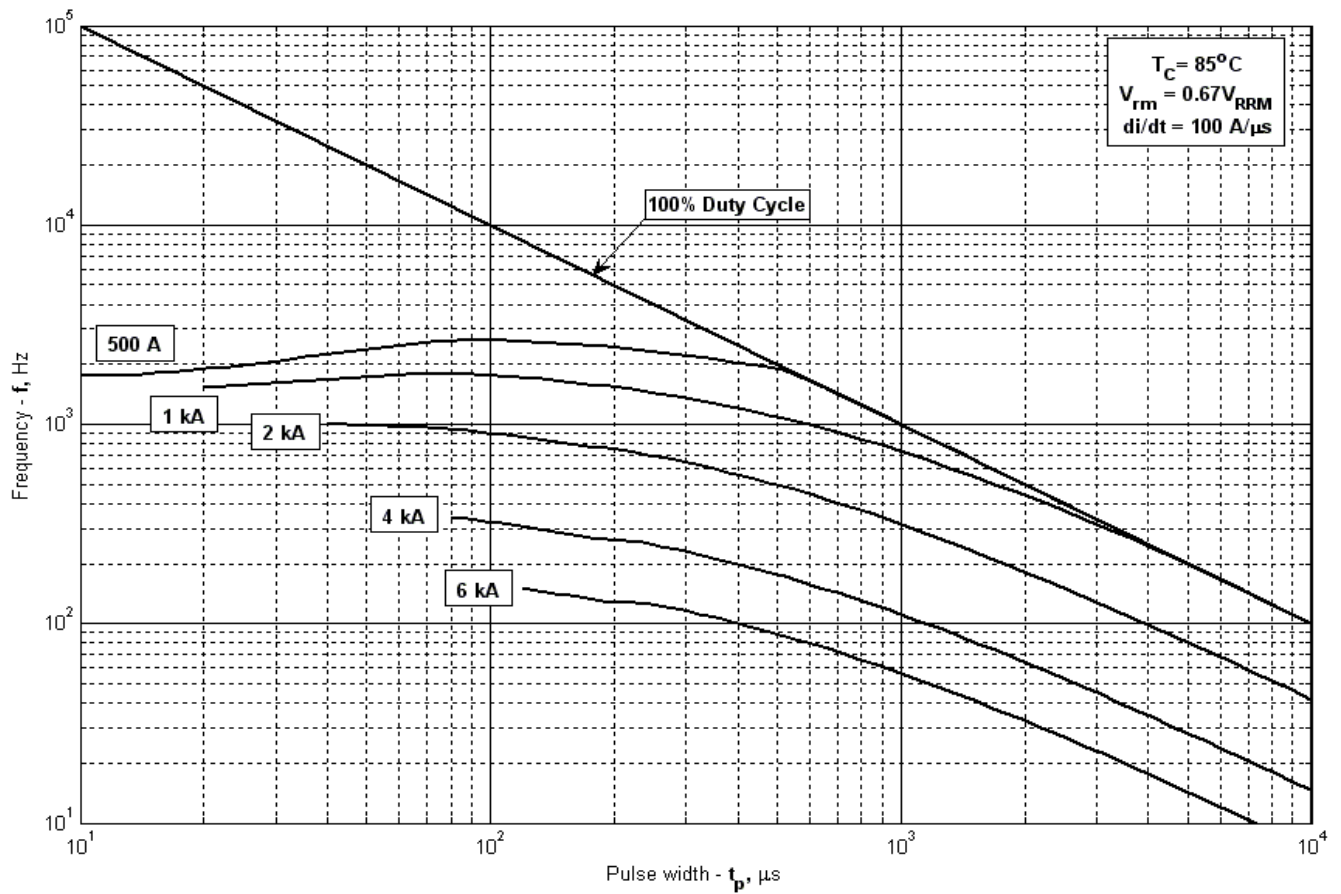


Рис. 24 – Зависимость частоты прямоугольных импульсов тока от длительности импульсов

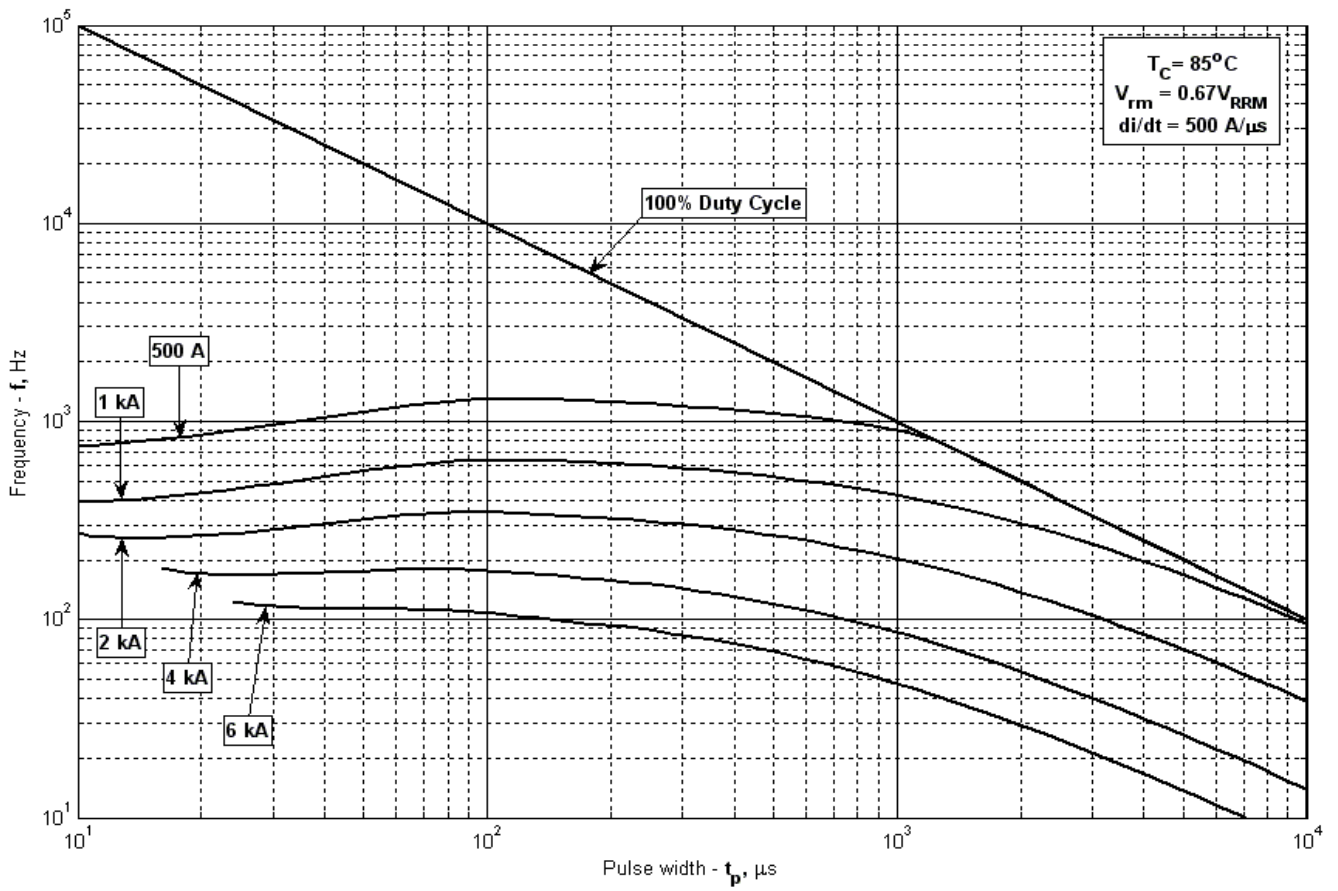


Рис. 25 – Зависимость частоты прямоугольных импульсов тока от длительности импульсов

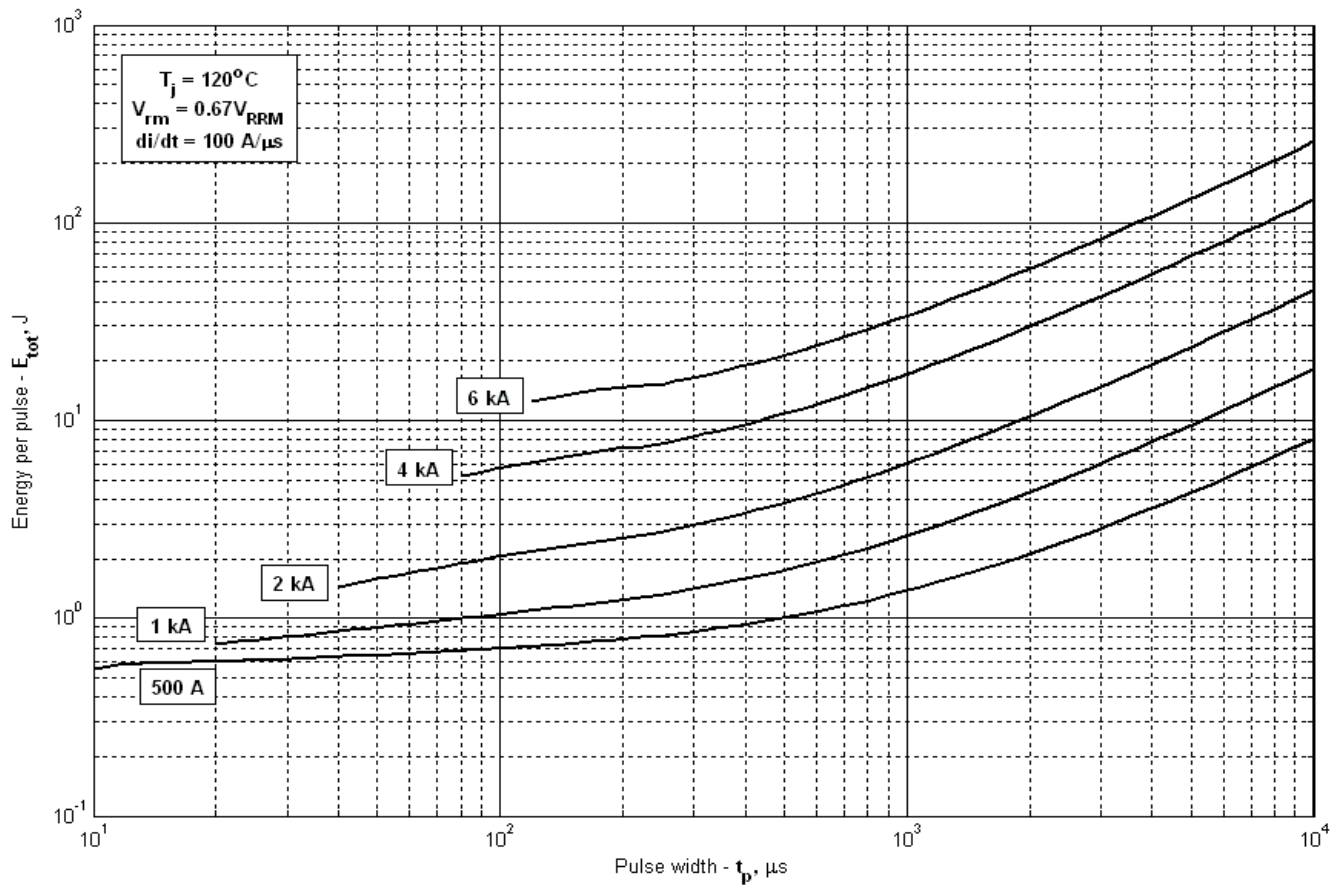


Рис. 26 – Суммарная энергия потерь одного прямоугольного импульса тока

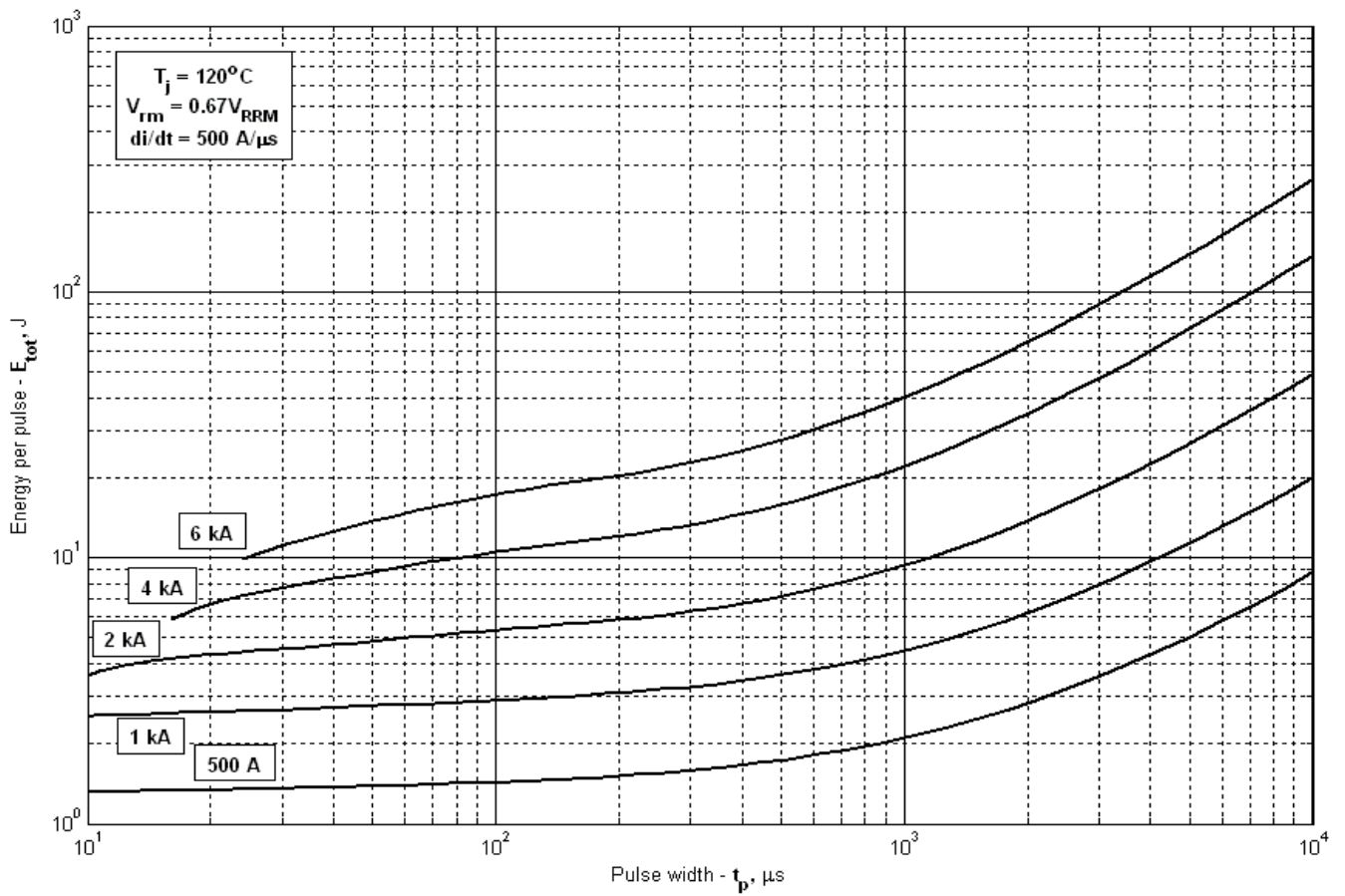


Рис. 27 – Суммарная энергия потерь одного прямоугольного импульса тока

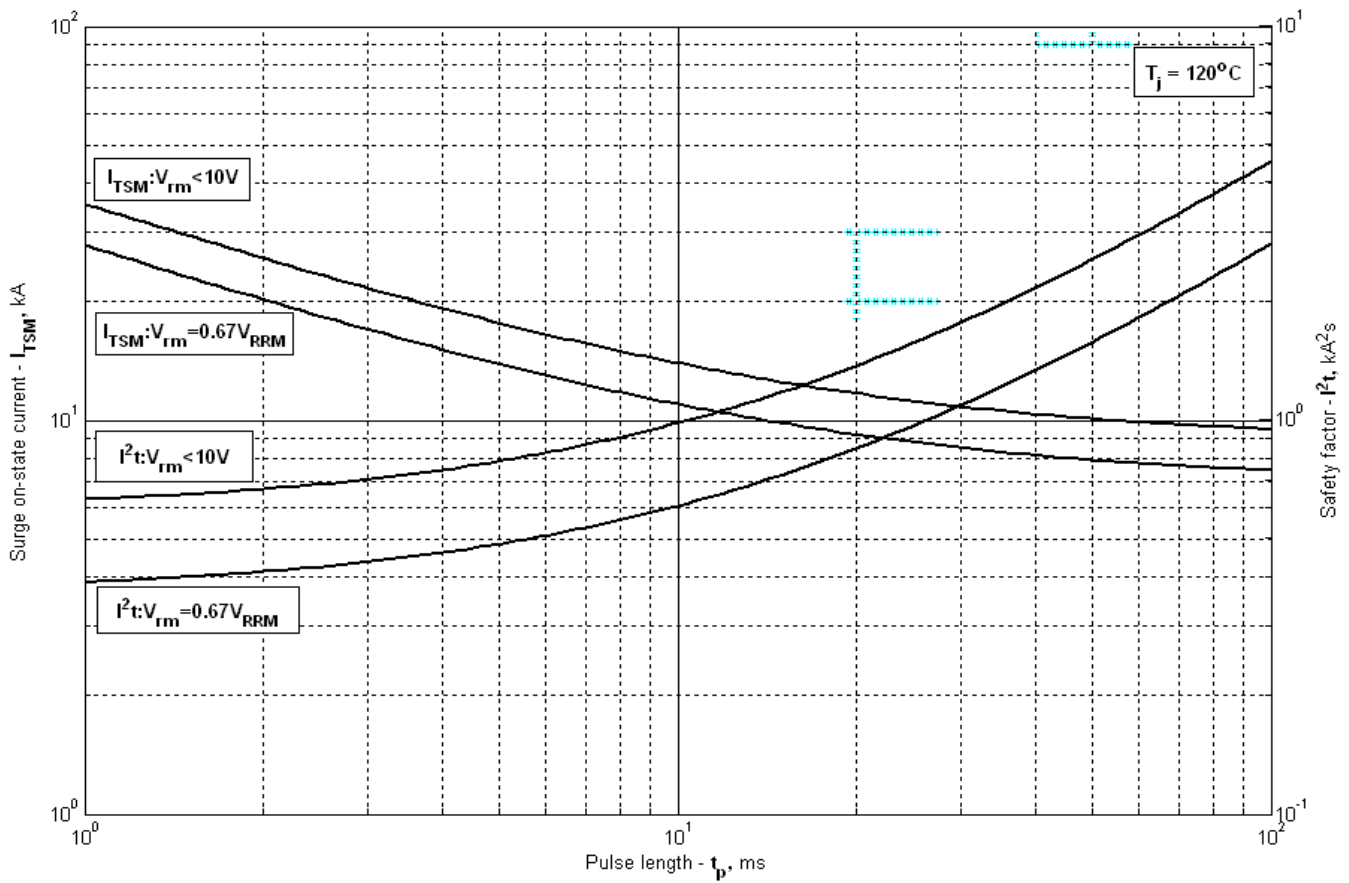


Рис. 28 – Максимальные ударные и I^2t характеристики

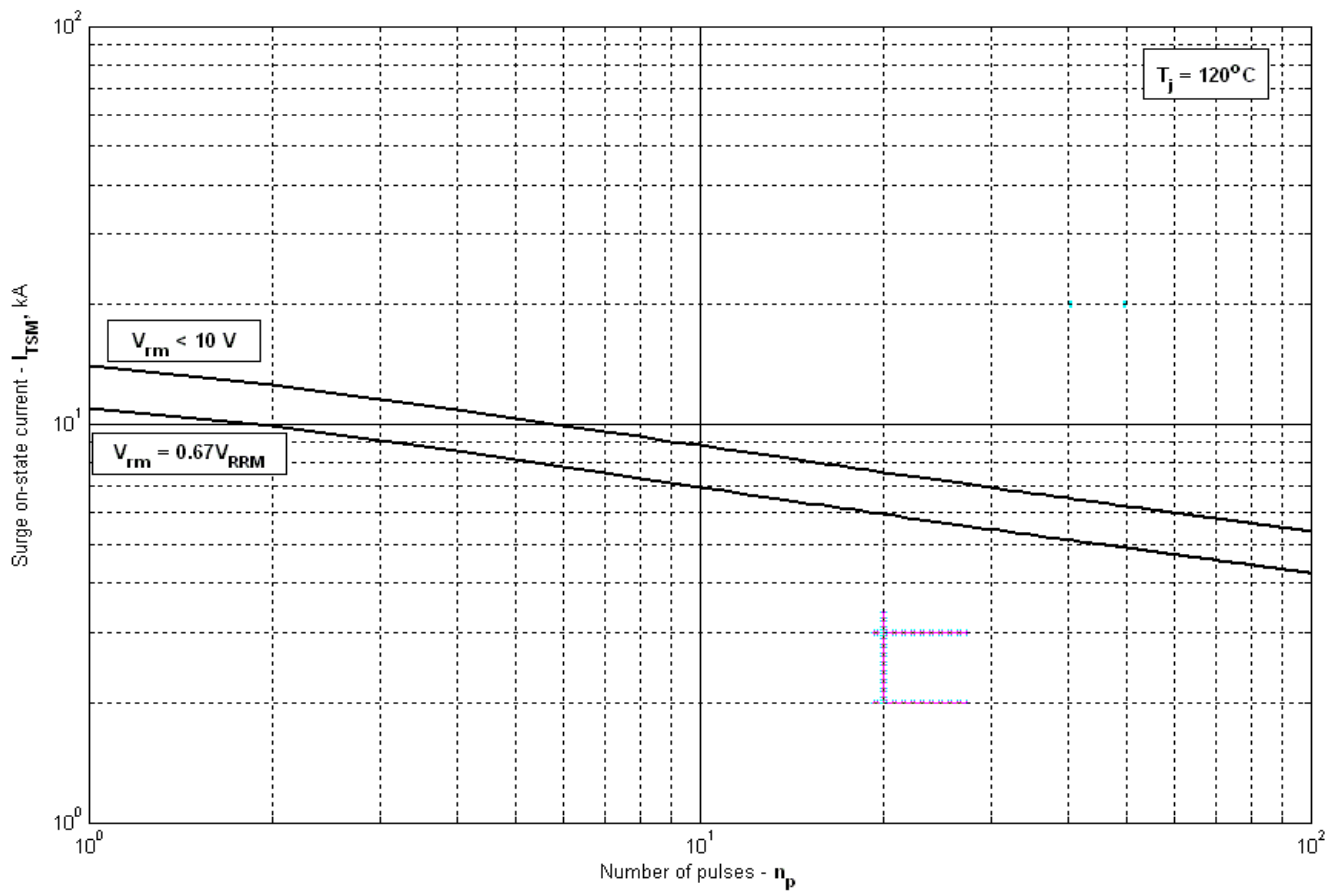


Рис. 29 – Зависимость допустимой амплитуды ударного тока от числа импульсов